



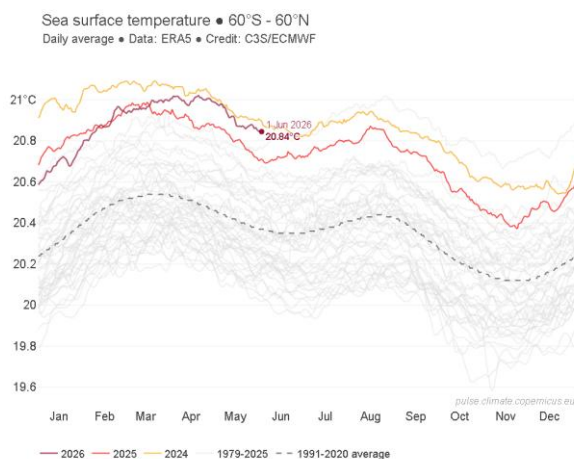
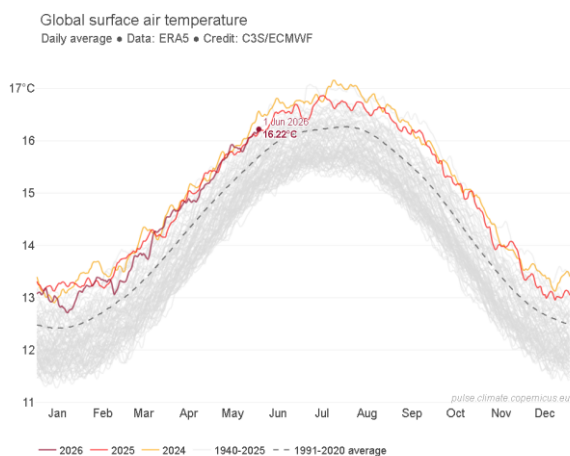
ААНИИ

Арктический и антарктический
научно-исследовательский институт

Информационные материалы по мониторингу морского ледяного покрова
Арктики и Южного Океана на основе данных ледового картирования и
пассивного микроволнового зондирования SSMR-SSM/I-SSMIS-AMSR2

25.05.2026 – 03.06.2026

№ 22(765)



Санкт-Петербург 2026

тел. +7(812)337-3149, эл. почта: vms@aari.ag

Адрес в сети Интернет: <http://wdc.aari.ru/datasets/doo42/>

Примечание: Настоящий информационный продукт МЦД МЛ ААНИИ, включая его составляющие, не относится к информационным ресурсам ЕСИМО, нацелен на климатический мониторинг Северной и Южной полярных областей и не предназначен для использования в навигационных целях

Содержание

Северное Полушарие	3
Рисунок 1а – Обзорная ледовая карта СЛО (цветовая раскраска по общей сплоченности)	3
Рисунок 1б – Обзорная ледовая карта СЛО (цветовая раскраска по преобладающему возрасту)	4
Рисунок 1в – Мозаика снимков Sentinel-1 и положение крупных полыней по данным AMSR2	5
Рисунок 1г – Поле дрейфа морского льда СЛО по данным AMSR2	6
Рисунок 2а - Оценка толщины льда и степени разрушенности по данным AMSR2	7
Рисунок 2б - Оценка толщины льда на основе данных ИСЗ CryoSat-2-SMOS-S3	Error! Bookmark not defined.
Рисунок 3а – Обзорная ледовая карта СМП.	8
Рисунок 3б - Оценка толщины льда и, мозаика радиолокационных снимков СМП	8
Рисунок 4а – Ледовые условия за текущий и аналогичные периоды 2007-2025 гг	9
Рисунок 4б – Оценка возраста льда (сутки) за 2018 – 2026 гг. по данным AMSR2	10
Рисунок 4в – Поля распределения модельной ошцины льда за 2005-2026 гг.	11
Рисунок 4г – Ежедневные оценки сезонного хода объема морского льда СЛО	12
Рисунок 5а – Аномалии приземной температуры воздуха и поверхности моря за последние сутки.	13
Рисунок 5б – Аномалии приземной температуры воздуха за последнюю пентаду 2023-2026 гг	14
Рисунок 5в – Аномалии приземной суммы осадков за последнюю пентаду 2023-2026 гг.	15
Таблица 1 - Медианные значения ледовитости по акваториям Северной полярной области	16
Таблица 2 – Экстремальные значения ледовитости по акваториям Северной полярной области	17
Таблица 3 – Динамика изменения значений ледовитости по акваториям Северной полярной области	17
Рисунок 6а – Ежедневные оценки ледовитости по акваториям Северной Полярной Области	19
Рисунок 6б – Ежедневные оценки сезонной ледовитости Северной Полярной Области	20
Южный океан	21
Рисунок 7а – Ледовая карта Южного океана (цветовая окраска по общей сплоченности)	21
Рисунок 7б – Ледовая карта Южного океана (цветовая окраска по возрасту)	22
Рисунок 7в – Положение кромки льда и зон разреженных морского льда Южного океана	23
Рисунок 7г – Поле дрейфа морского льда Южного океана по данным AMSR2	24
Рисунок 8 – Оценка возраста льда Южного океана по данным AMSR2	26
Рисунок 9 – Аномалии приземной температуры воздуха и поверхности океана за текущие сутки.	27
Таблица 4 – Линейные размеры и площадь крупных айсбергов Южного океана	28
Рисунок 10а – Ежедневные оценки сезонного хода ледовитости акваторий Южного Океана	29
Рисунок 10б – Ежедневные оценки сезонных изменений ледовитости Южного океана за период	30
Таблица 5 – Медианные и экстремальные значения ледовитости Южного океана	31
Таблица 6 – Динамика изменения значений ледовитости морей Южного океана	31
Рисунок 11а – Среднегодовая сглаженная ледовитость Арктики, Антарктики и Земли в целом	32
Рисунок 11б – Среднегодовая сглаженная площадь морского льда Арктики, Антарктики и Земли в целом	33
Рисунок 11в – Среднегодовая сглаженная общая сплоченность Арктики и Антарктики	34
Таблица 8 – Средние, аномалии среднего и экстремальные значения ледовитостей для Северной и Южной полярных областей и её отдельных акваторий	35
Таблица 10 – Динамика изменения ледовитости морей Северной полярной области и Южного океана	39
Характеристика исходного материала и методика расчетов	40
Список источников	45

Северное Полушарие

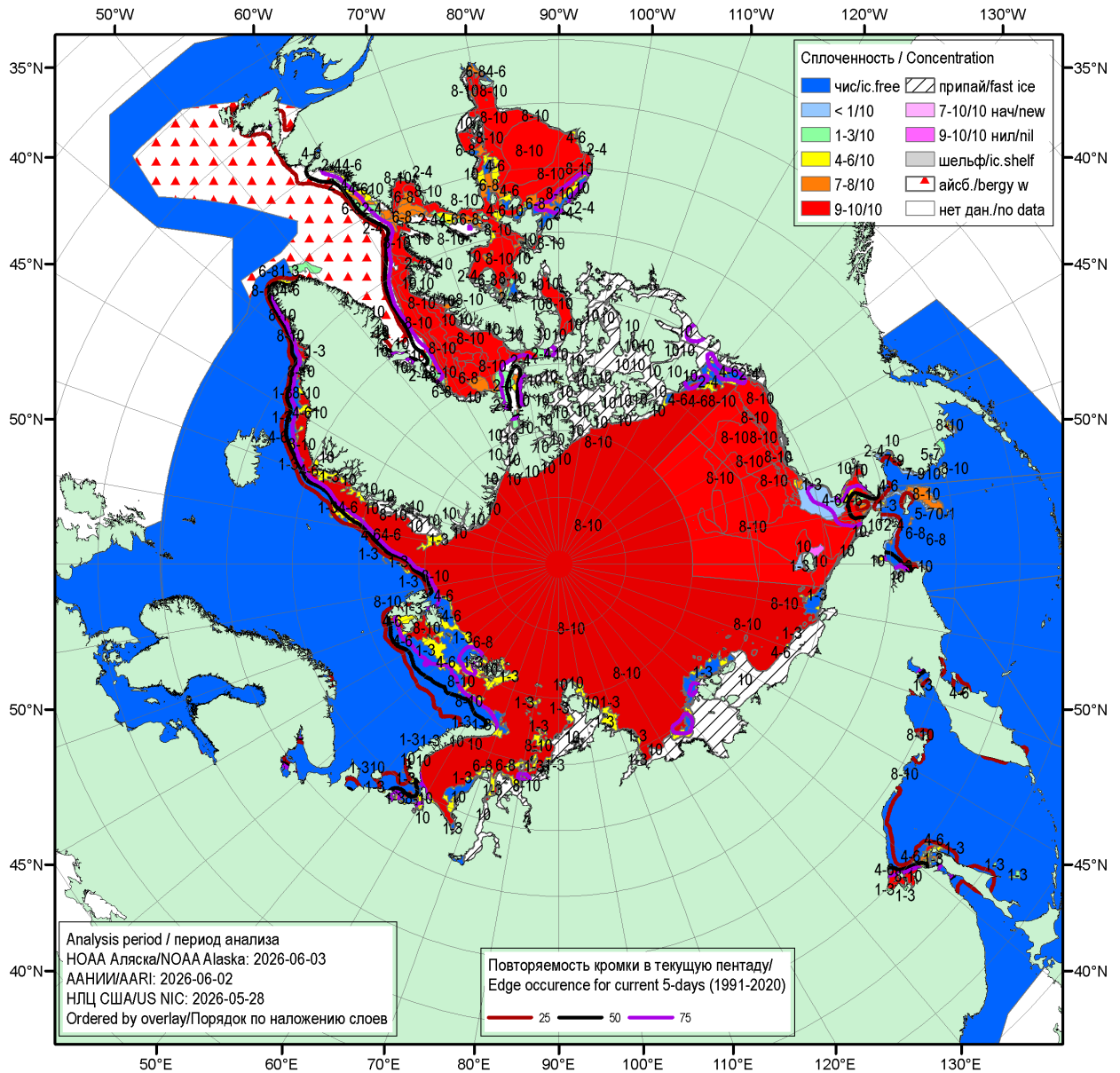


Рисунок 1а – Обзорная ледовая карта СЛО за 28.05.2026 – 03.06.2026 (цветовая раскраска по общей сплоченности) на основе ледового анализа NOAA Аляска, ААНИИ и Национального ледового центра США и повторяемость кромки за соответствующий 5-дневный период за 1991-2020 гг. по наблюдениям SSMR-SSM/I-SSMIS (алгоритм NASATEAM) [4, 10, 23, 17].

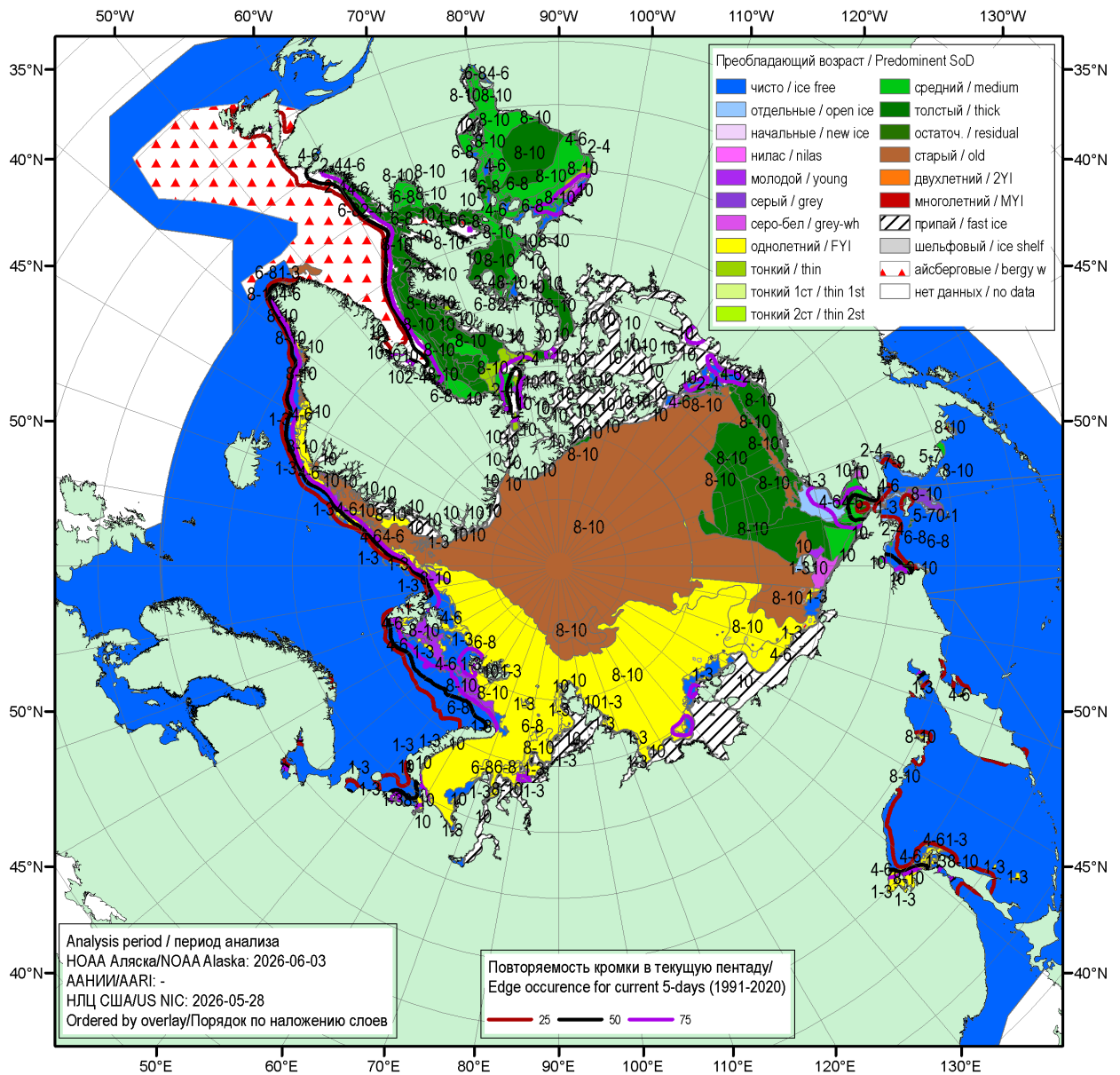


Рисунок 16 – Обзорная ледовая карта СЛО за 28.05.2026 – 03.06.2026 (цветовая раскраска по преобладающему возрасту) на основе ледового анализа НОАА Аляска, ААНИИ и Национального ледового центра США и повторяемость кромки за соответствующий 5-дневный период за 1991-2020 гг. по наблюдениям SSMR-SSM/I-SSMIS (алгоритм NASATEAM) [4, 10, 23, 17].

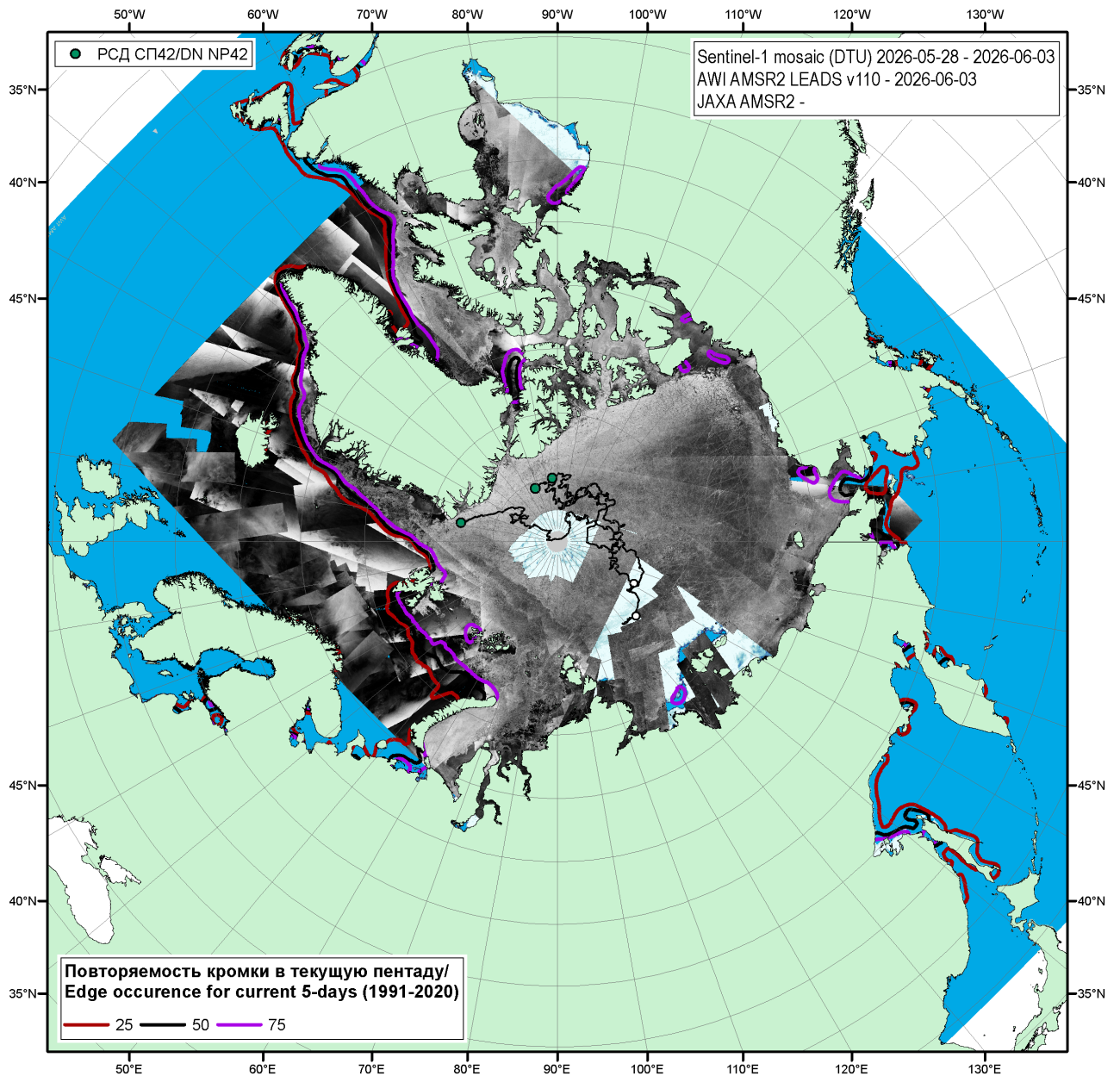


Рисунок 1в – Мозаика снимков Sentinel-1 (DTU) за 28.05.2026 – 03.06.2026, общая сплоченность и оценка положения полыней за 27.05.2026 г. по данным AMSR2 (AWI-JAXA), повторяемость кромки за соответствующий 5-дневный период за 1991-2020 гг. по наблюдениям SSMR-SSM/I-SSMIS (алгоритм NASATEAM) и положение РСН СП-42 на 04.06.2025 г. 06:00МСК.

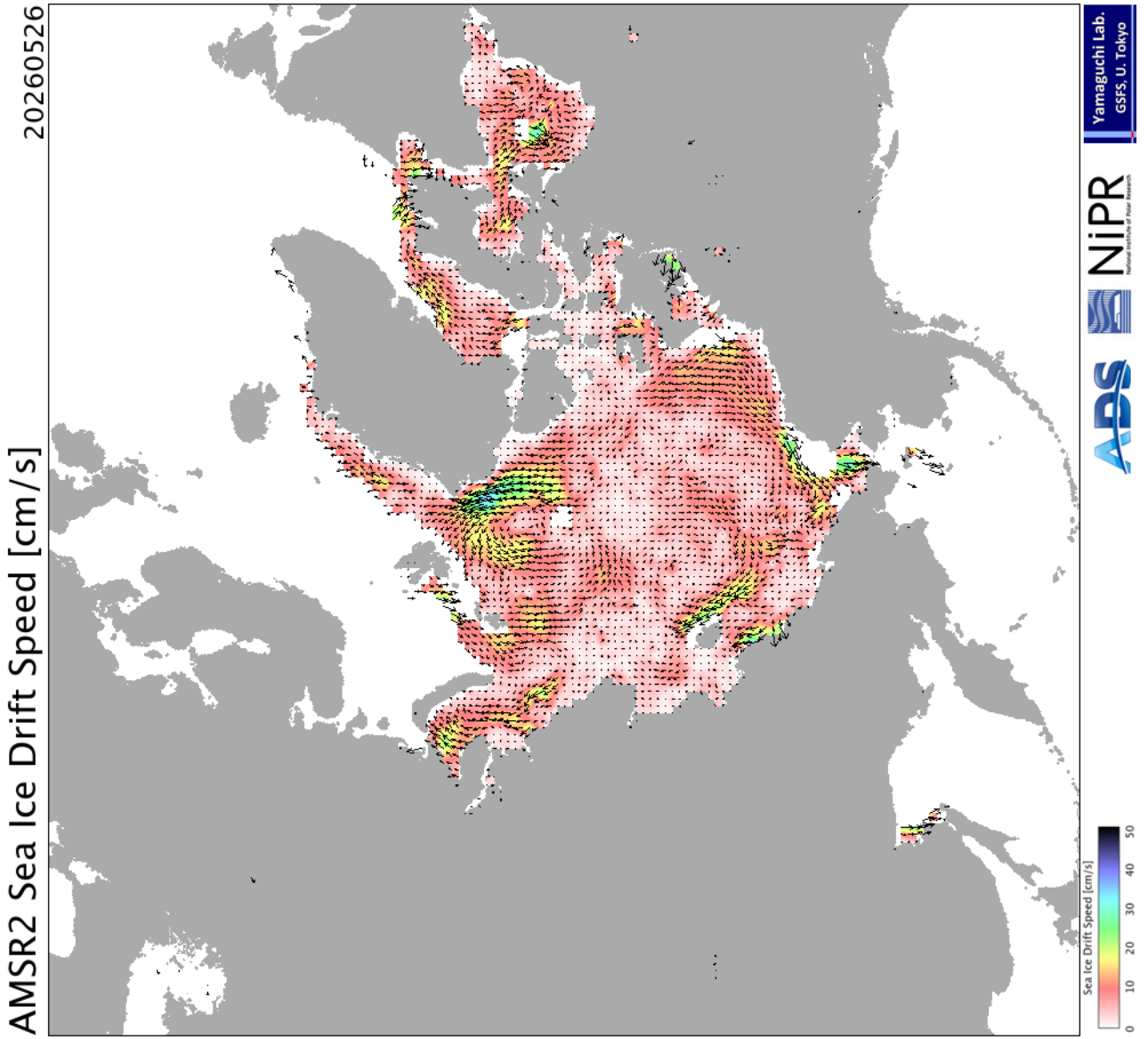
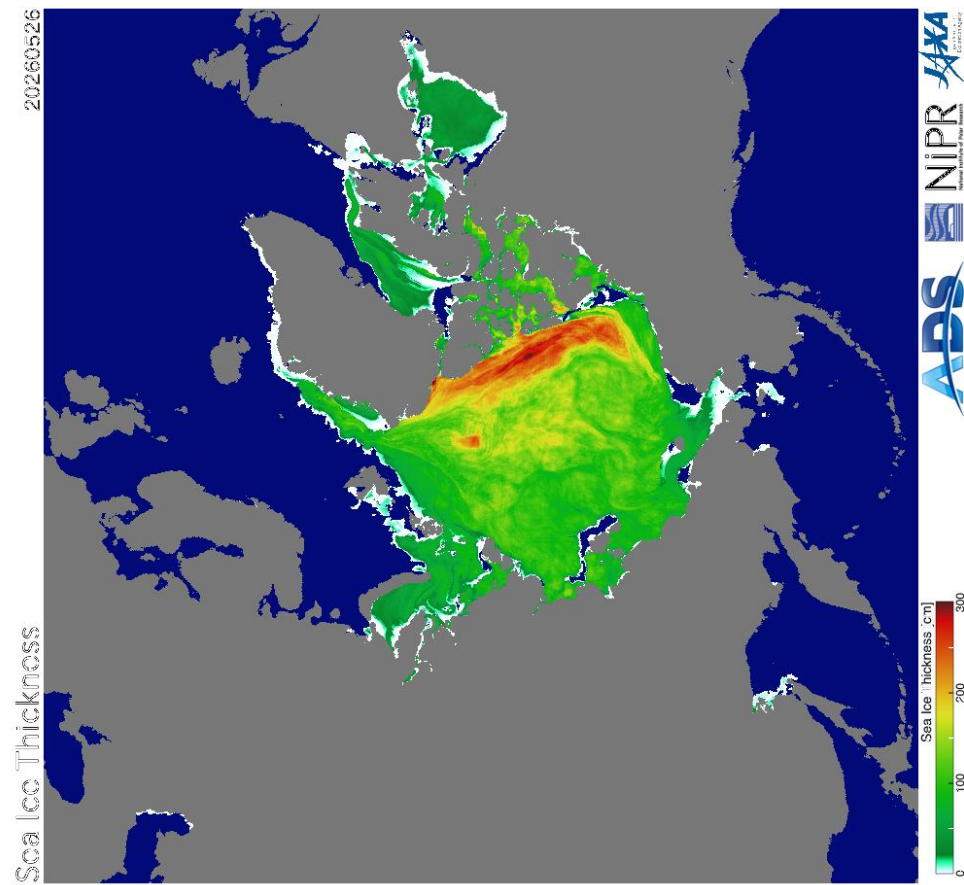
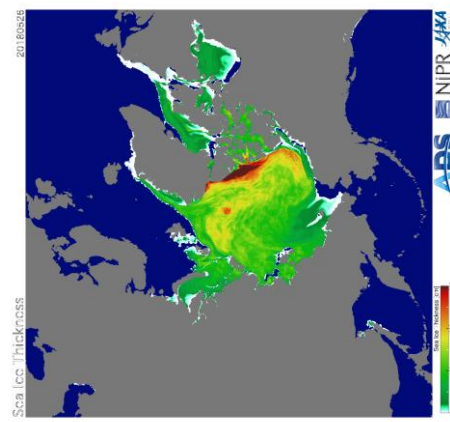


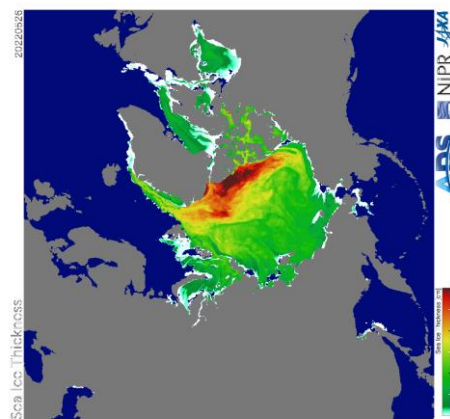
Рисунок 1г – Поле дрейфа морского льда Северной полярной области за последний доступный срок по данным AMSR2, источник JAXA [29].



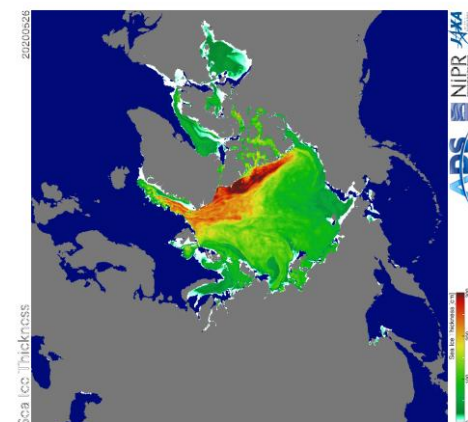
2026



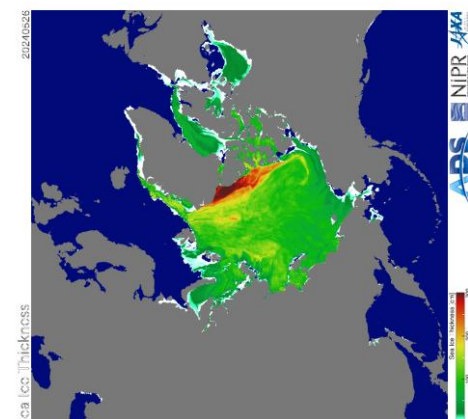
2018



2022



2020



2024

Рисунок 2а - Оценка толщины льда и степени разрушенности на основе данных пассивного микроволнового зондирования AMSR2 26.05 в 2018 – 2026 гг. [29].

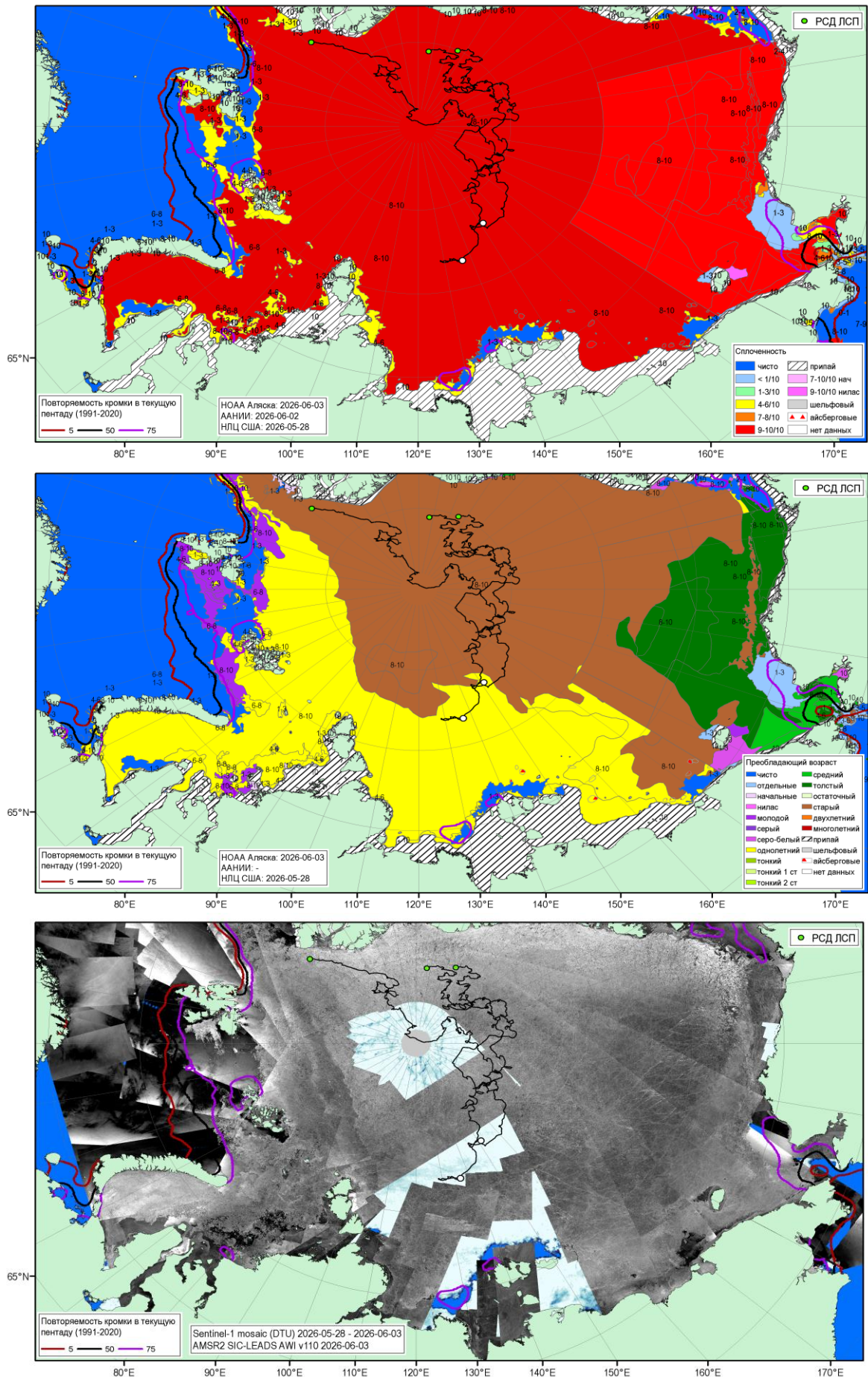
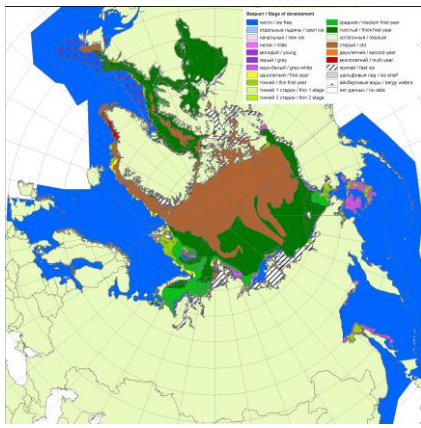
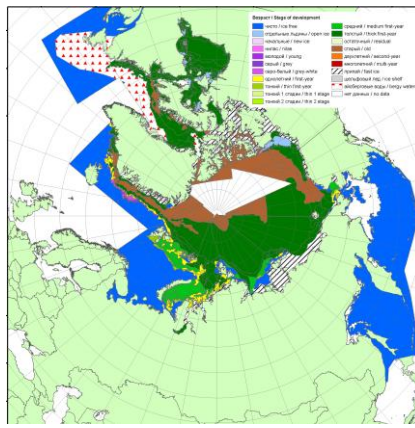


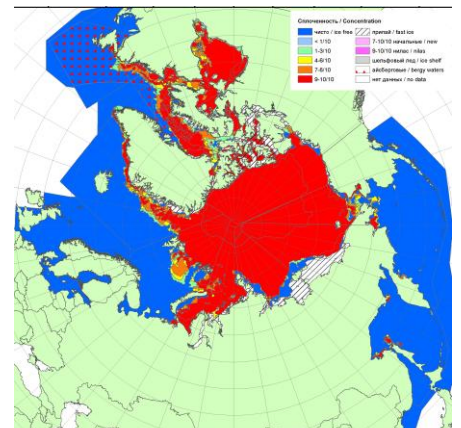
Рисунок 3 - Обзорная ледовая карта МСП за 28.05-03.06.2026 г., мозаика радиолокационных снимком ИСЗ Sentinel-1A/C за 28.05-03.06.2026 (DTU) с оценкой положения польшей за 27.05.2026 г. по данным AMSR2 (AWI-JAXA), повторяемость кромки за соответствующий 5-дневный период 1991-2020 гг. по наблюдениям SSMR-SSM/I-SSMIS (алгоритм NASATEAM) и положение РСН СП-42 на 04.06.2026 0600МСК [27, 28, 17].



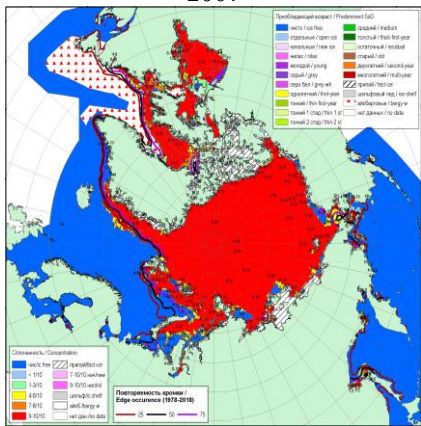
2007



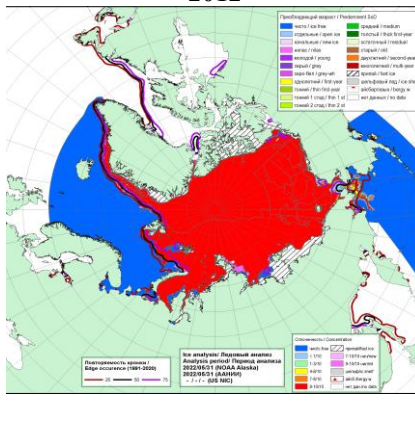
2012



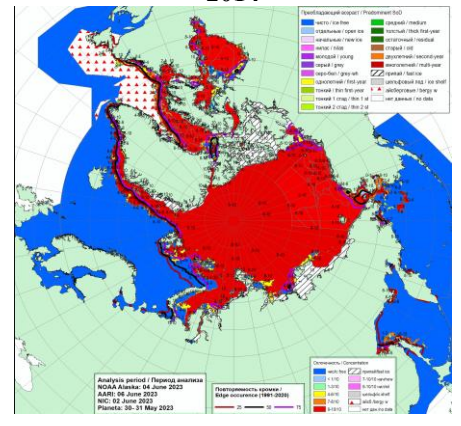
2014



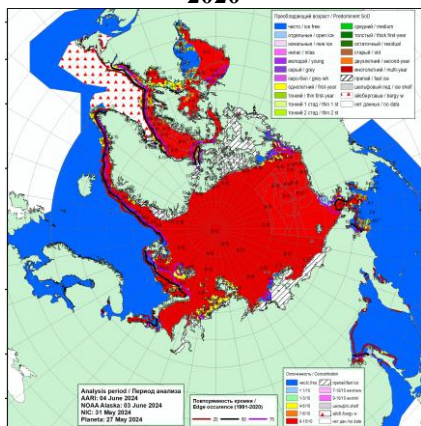
2020



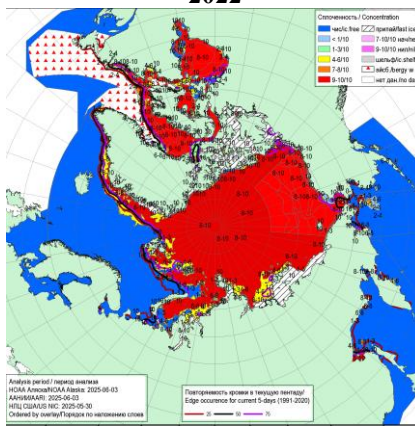
2022



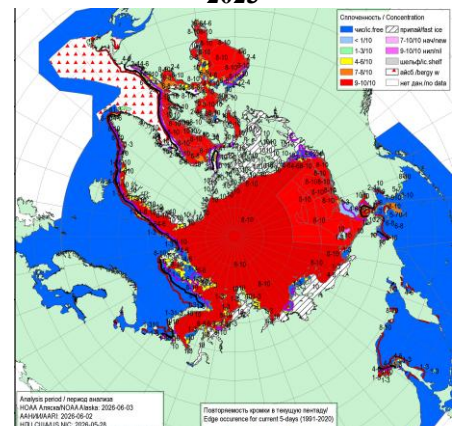
2023



2024

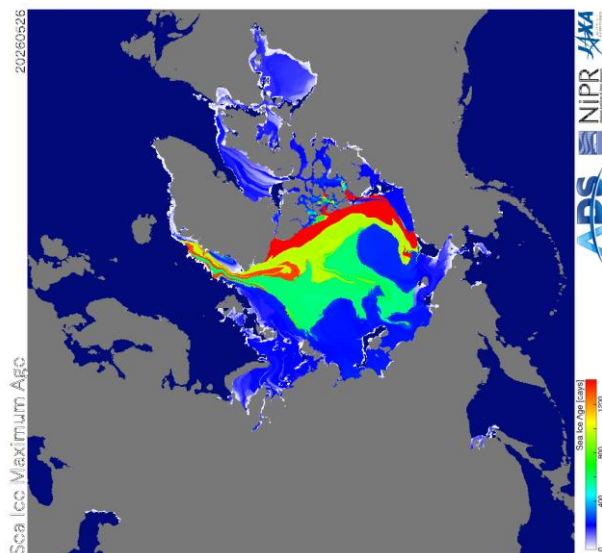


2025

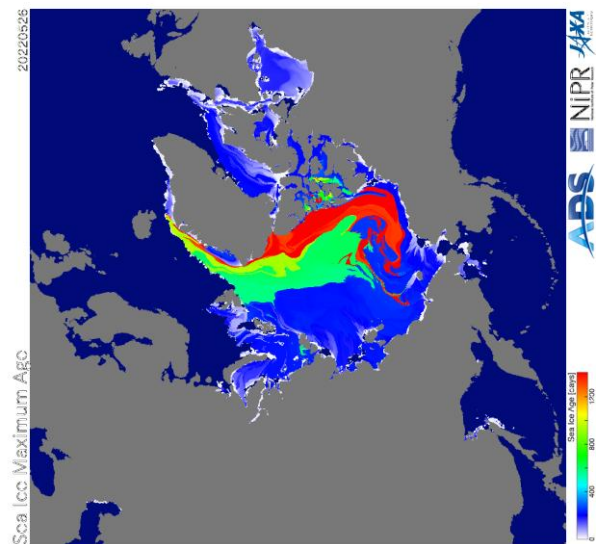


2026

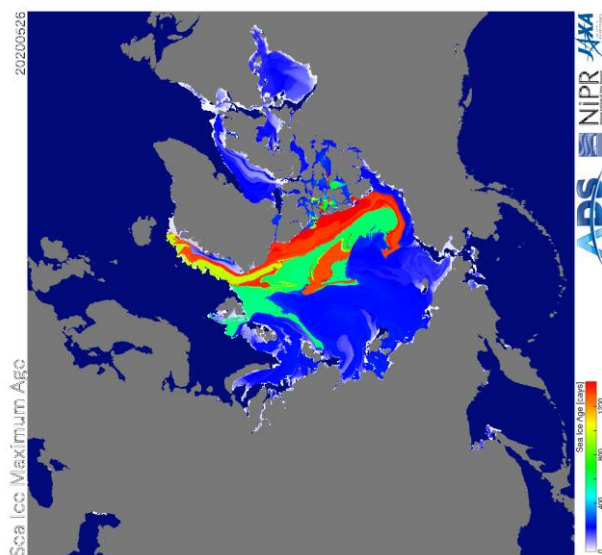
Рисунок 4а – Ледовые условия за 28.05 - 03.06.2026. и аналогичные периоды 2007-2025 гг. на основе ледового анализа ААНИИ, НИЦ Планета, Канадской ледовой службы, Национального ледового центра США и НОАА Аляска [4, 10, 12, 23, 17].



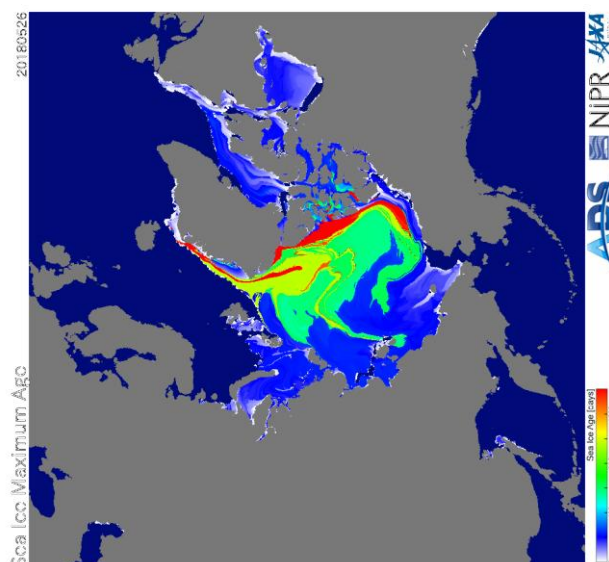
2026



2022



2020



2018

Рисунок 46 – Оценка максимального возраста льда (сутки) на 26.05 за 2018 – 2026 гг. по данным JAXA-NIPR [29]

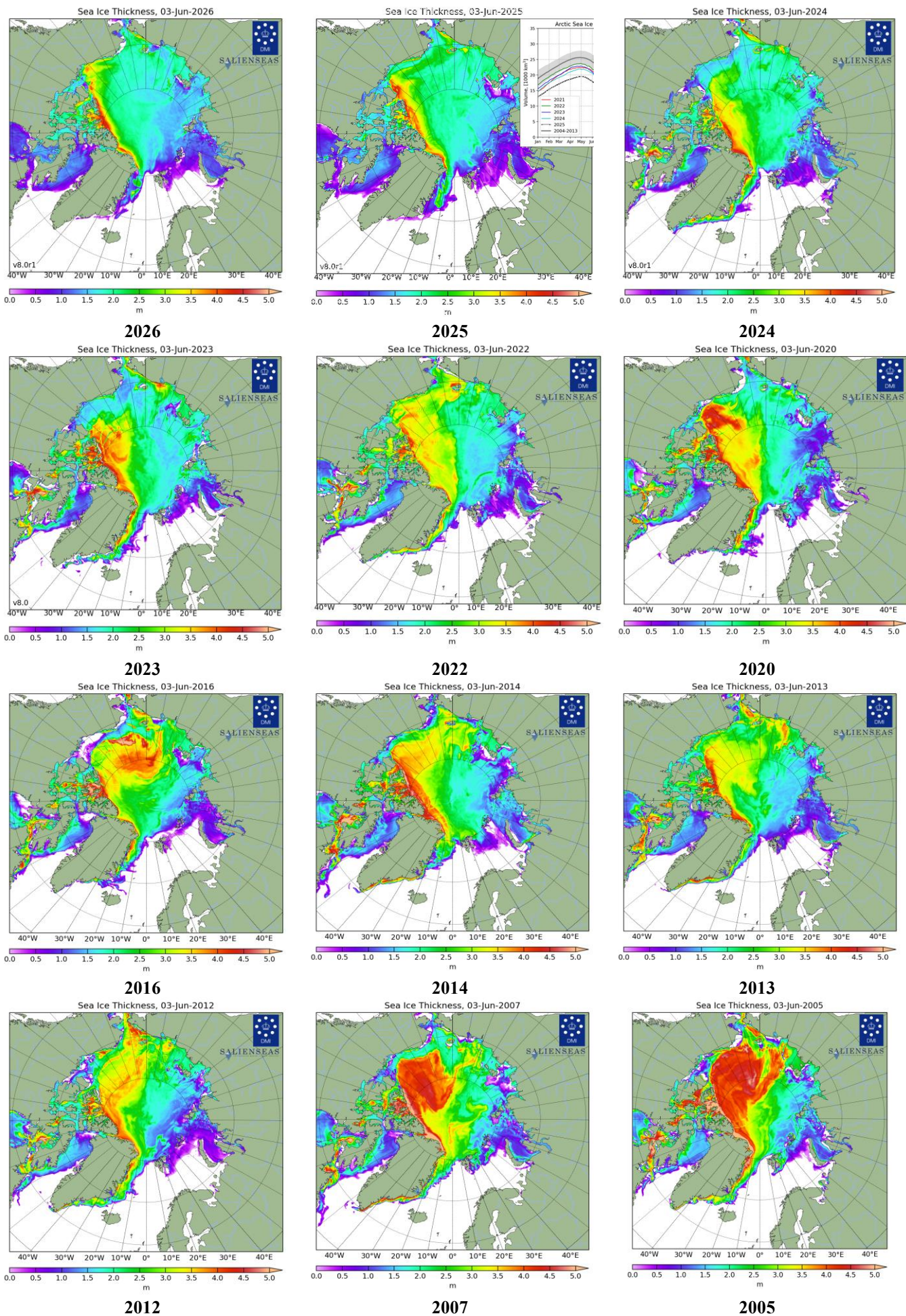


Рисунок 4в – Поля распределения средневзвешенной толщины льда совместной модели морского льда – океана NUSCOM/CICE Датского метеорологического института 03.06 за 2005-2026 гг. [22].

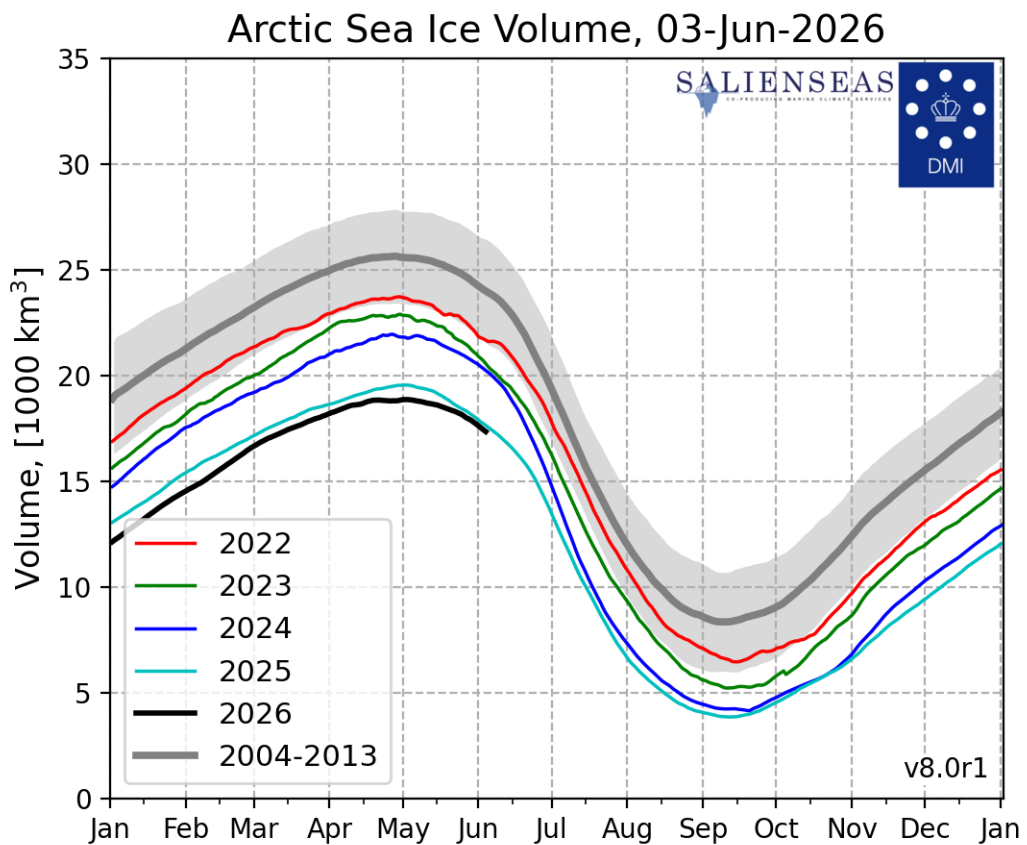


Рисунок 4г – Ежедневные оценки сезонного хода объема морского льда СЛО на основе расчетов средневзвешенной толщины льда совместной модели морского льда – океана HYCOM/CICE Датского метеорологического института с 28.02.2004 по последний доступный срок [22].

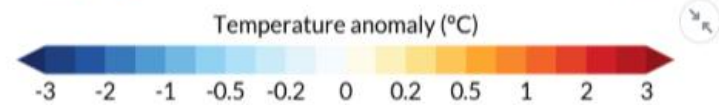
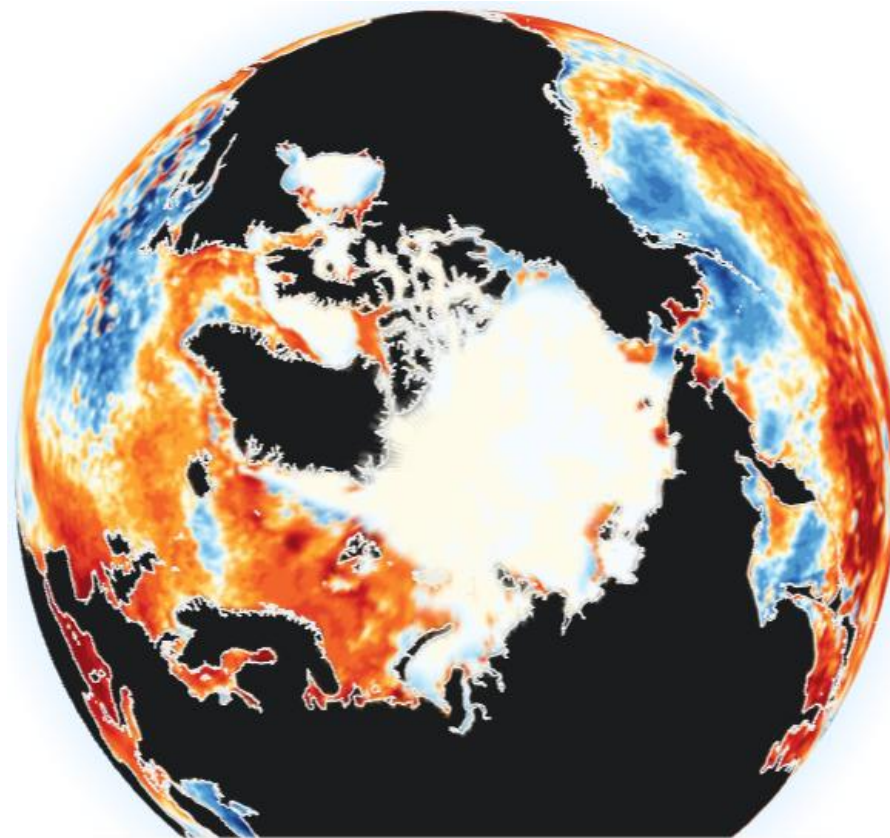
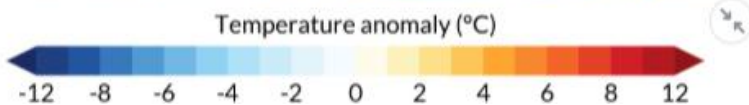
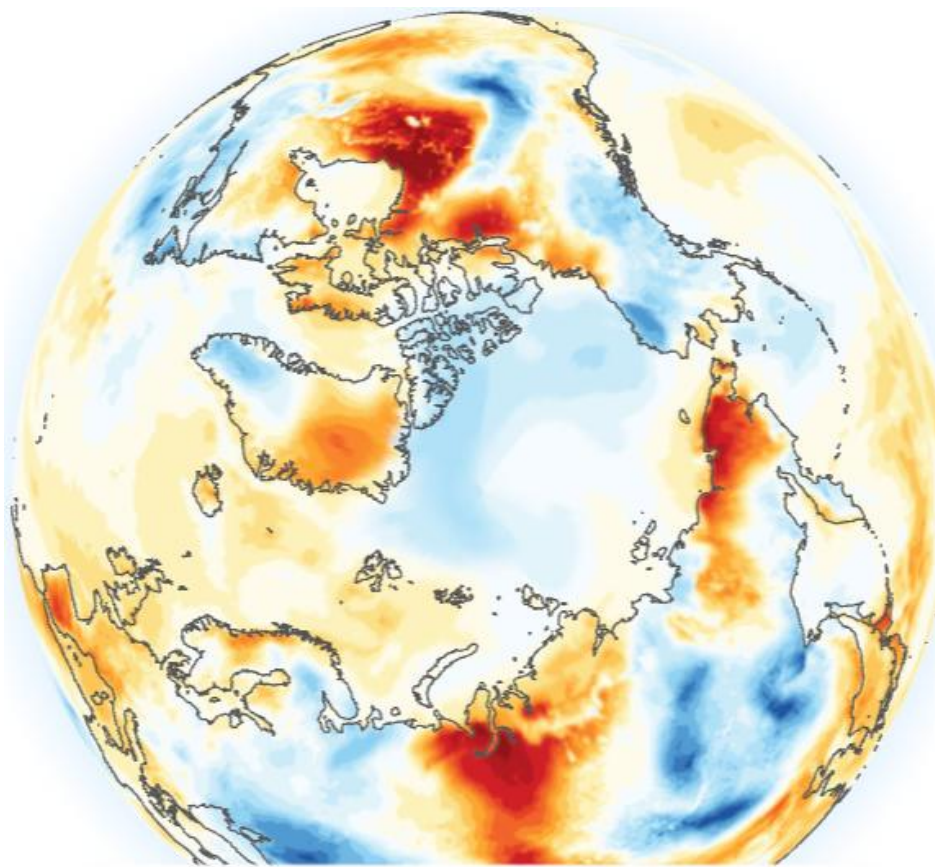


Рисунок 5а – Аномалия приземной температуры воздуха (2м) и температуры поверхности моря на 02.06.2026 г. относительно периода 1991-2020 гг. - The [Copernicus Climate Change Service \(C3S\)](#), implemented by the [European Centre for Medium-Range Weather Forecasts \(ECMWF\)](#) on behalf of the European Commission is part of the European Union's space programme

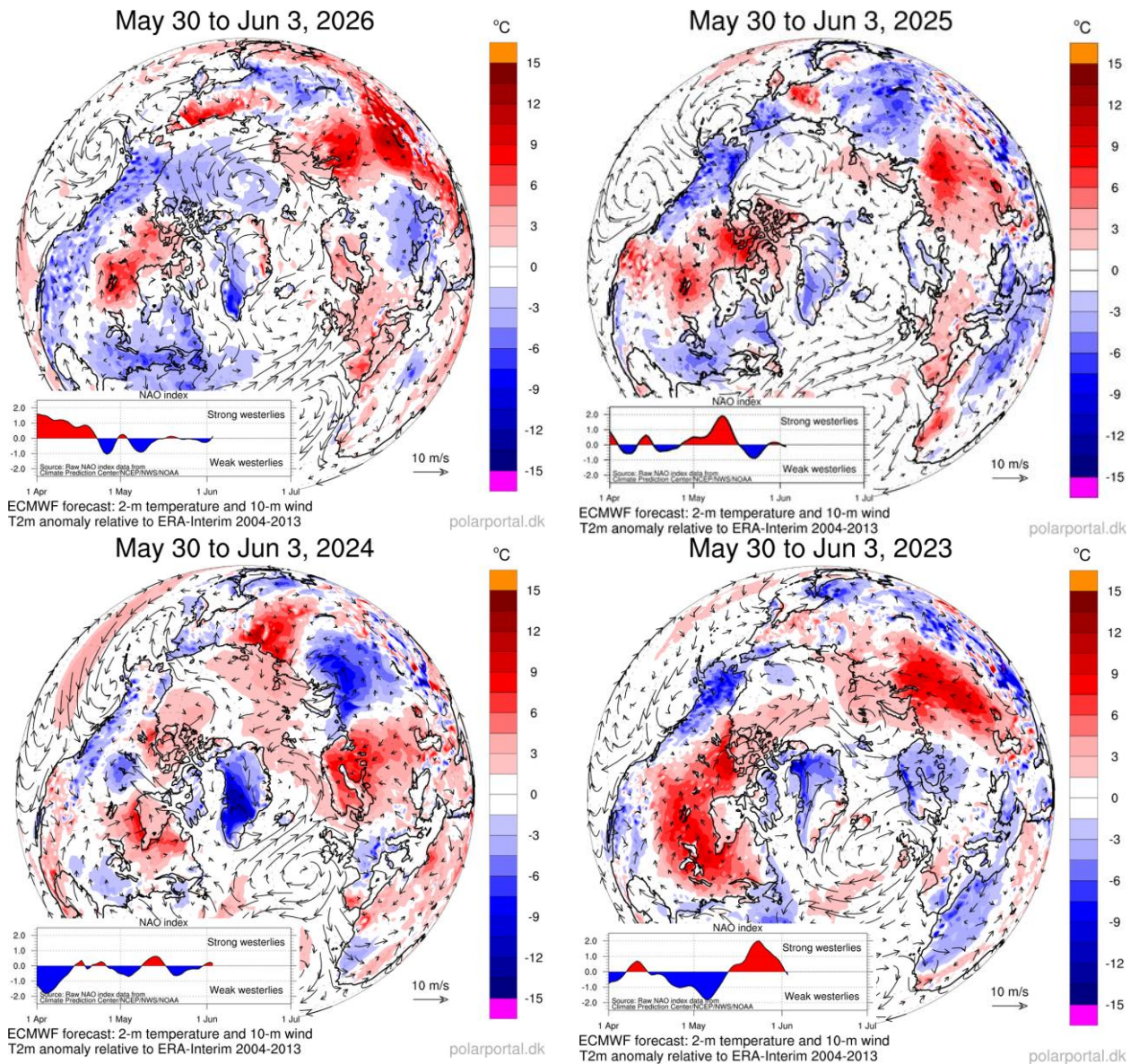


Рисунок 5б – Аномалии приземной температуры воздуха (2м) и осредненные вектора скорости ветра (10 м) за последнюю пентаду 2022-2025 гг. относительно периода 2004-2013 гг. (<http://polarportal.dk>) [22]

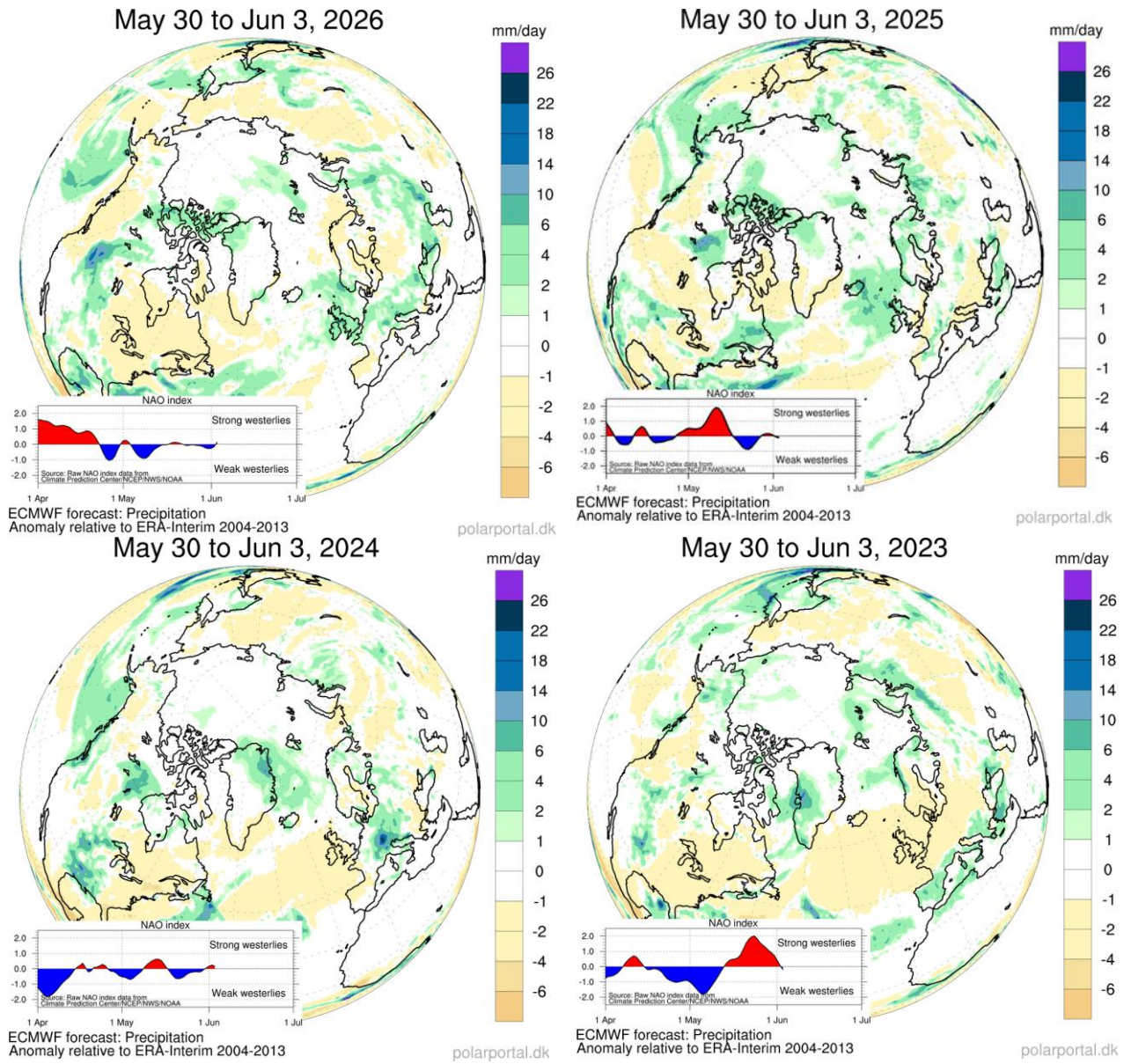


Рисунок 5в – Аномалии приземной суммы осадков за последнюю пентаду 2022-2025 гг. относительно периода 2004-2013 гг [22].

Таблица 1 - Медианные значения ледовитости для Северной полярной области, 3-х меридиональных секторов и морей СМП за текущие 30 и 7-дневные интервалы, и её аномалии от 2020-2024 гг. и интервалов 2015-2025 гг. и 1978-2025 гг. по данным наблюдений SSMR-SSM/I-SSMIS, алгоритмы NASATEAM [13-17]

Северная полярная область

Месяц	S, тыс. км2	Аномалии, тыс км2/%						
		2021 г	2022 г	2023 г	2024 г	2025 г	2016-2026гг	1978-2026гг
01-31.05	12397.6	-470.5	-682.3	-654.5	-571.0	-410.6	-220.7	-803.8
		-3.7	-5.2	-5.0	-4.4	-3.2	-1.7	-6.1
25-31.05	11858.1	-501.3	-725.7	-564.9	-576.6	-313.7	-199.3	-815.6
		-4.1	-5.8	-4.5	-4.6	-2.6	-1.7	-6.4

Сектор 45°W-95°E (Гренландское - Карское моря)

Месяц	S, тыс. км2	Аномалии, тыс км2/%						
		2021 г	2022 г	2023 г	2024 г	2025 г	2016-2026гг	1978-2026гг
01-31.05	2788.7	-312.7	-469.9	-330.9	-462.1	-233.3	-218.0	-507.1
		-10.1	-14.4	-10.6	-14.2	-7.7	-7.3	-15.4
25-31.05	2672.3	-354.3	-400.6	-220.3	-492.5	-118.9	-174.3	-507.0
		-11.7	-13.0	-7.6	-15.6	-4.3	-6.1	-15.9

Сектор 95°E-170°W (моря Лаптевых - Чукотское, Берингово, Охотское)

Месяц	S, тыс. км2	Аномалии, тыс км2/%						
		2021 г	2022 г	2023 г	2024 г	2025 г	2016-2026гг	1978-2026гг
01-31.05	3638.6	-163.2	-46.8	-113.2	-91.5	-14.5	-28.5	-216.3
		-4.3	-1.3	-3.0	-2.5	-0.4	-0.8	-5.6
25-31.05	3504.3	-35.9	-12.1	-52.6	-54.5	14.4	-0.5	-133.6
		-1.0	-0.3	-1.5	-1.5	0.4	0.0	-3.7

Сектор 170°W-45°W (море Бофорта и Канадская Арктика)

Месяц	S, тыс. км2	Аномалии, тыс км2/%						
		2021 г	2022 г	2023 г	2024 г	2025 г	2016-2026гг	1978-2026гг
01-31.05	6013.2	48.3	-122.8	-167.6	25.6	-119.9	64.8	-38.4
		0.8	-2.0	-2.7	0.4	-2.0	1.1	-0.6
25-31.05	5749.6	-42.9	-244.8	-223.8	38.6	-141.0	37.5	-108.2
		-0.7	-4.1	-3.7	0.7	-2.4	0.7	-1.8

Северный Ледовитый океан

Месяц	S, тыс. км2	Аномалии, тыс км2/%						
		2021 г	2022 г	2023 г	2024 г	2025 г	2016-2026гг	1978-2026гг
01-31.05	11152.6	-240.9	-460.6	-250.1	-362.3	-174.1	-163.4	-474.7
		-2.1	-4.0	-2.2	-3.1	-1.5	-1.4	-4.1
25-31.05	10914.6	-285.2	-457.1	-133.4	-341.0	-72.9	-90.7	-512.6
		-2.5	-4.0	-1.2	-3.0	-0.7	-0.8	-4.5

Моря СМП (моря Карское-Чукотское)

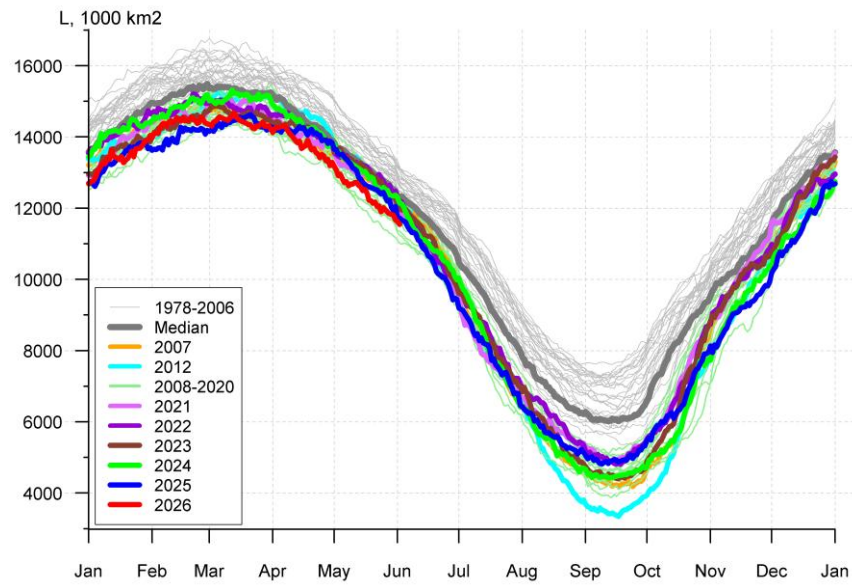
Месяц	S, тыс. км2	Аномалии, тыс км2/%						
		2021 г	2022 г	2023 г	2024 г	2025 г	2016-2026гг	1978-2026гг
01-31.05	2985.6	2.4	-3.4	-7.8	-32.5	71.5	32.5	-6.3
		0.1	-0.1	-0.3	-1.1	2.5	1.1	-0.2
25-31.05	2928.4	36.6	-7.5	23.5	-78.5	79.4	51.6	-23.2
		1.3	-0.3	0.8	-2.6	2.8	1.8	-0.8

Таблица 2 – Экстремальные и средние значения ледовитости для Северной полярной области, 3 меридиональных секторов и моря СМП за текущий 7-дневный интервал по данным наблюдений [13-17]

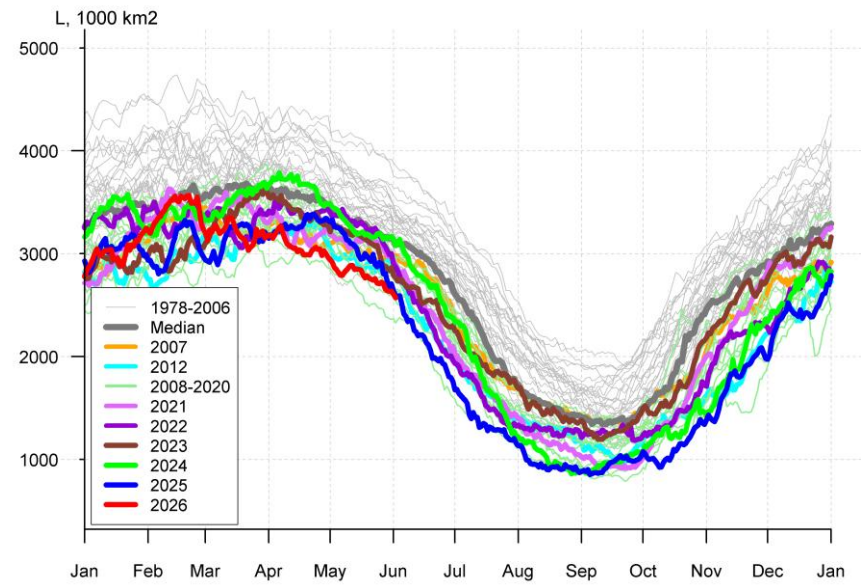
Северная полярная область				
Месяц	Минимальное знач.	Максимальное знач.	Среднее знач.	Медиана
25-31.05	11180.2 31.05.2016	13778.7 25.05.1985	12673.7	12644.7
Сектор 45°W-95°E (Гренландское - Карское моря)				
Месяц	Минимальное знач.	Максимальное знач.	Среднее знач.	Медиана
25-31.05	2360.4 31.05.2016	3974.0 27.05.1981	3179.3	3156.8
Сектор 95°E-170°W (моря Лаптевых - Чукотское, Берингово, Охотское)				
Месяц	Минимальное знач.	Максимальное знач.	Среднее знач.	Медиана
25-31.05	3372.8 31.05.2018	3985.1 25.05.1985	3637.9	3623.7
Сектор 170°W-45°W (море Бофорта и Канадская Арктика)				
Месяц	Минимальное знач.	Максимальное знач.	Среднее знач.	Медиана
25-31.05	5278.6 31.05.2016	6393.6 25.05.1984	5859.5	5853.8
Северный Ледовитый океан				
Месяц	Минимальное знач.	Максимальное знач.	Среднее знач.	Медиана
25-31.05	10351.5 31.05.2016	12297.7 27.05.1981	11427.2	11426.7
Моря СМП (моря Карское-Чукотское)				
Месяц	Минимальное знач.	Максимальное знач.	Среднее знач.	Медиана
25-31.05	2746.1 31.05.2019	3025.9 25.05.1987	2951.6	2972.3

Таблица 3 – Динамика изменения значений ледовитости по сравнению с предыдущей неделей для морей Северной полярной области за 25.05 – 31.05.2026 г. по данным наблюдений SSMR-SSM/I-SMIS [13-17]

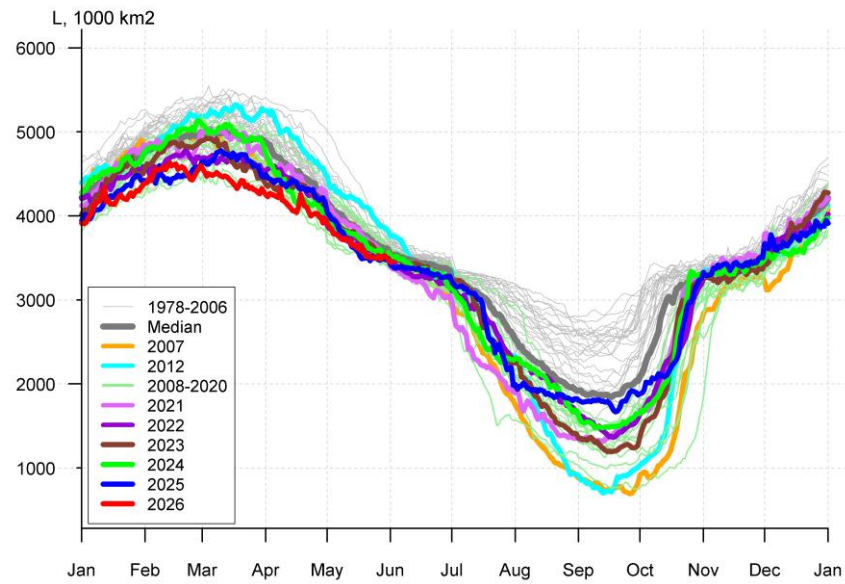
Регион	Северная полярная область	Сектор 45°W-95°E (Гренландское - Карское моря)	Сектор 95°E-170°W (моря Лаптевых - Чукотское, Берингово, Охотское)	Сектор 170°W-45°W (море Бофорта и Канадская Арктика)	Северный Ледовитый океан	Моря СМП (моря Карское-Чукотское)
Разность	-251.4	-82.2	-29.5	-71.5	-163.8	-34.2
тыс. кв. км/сут.	-35.9	-11.7	-4.2	-10.2	-23.4	-4.9



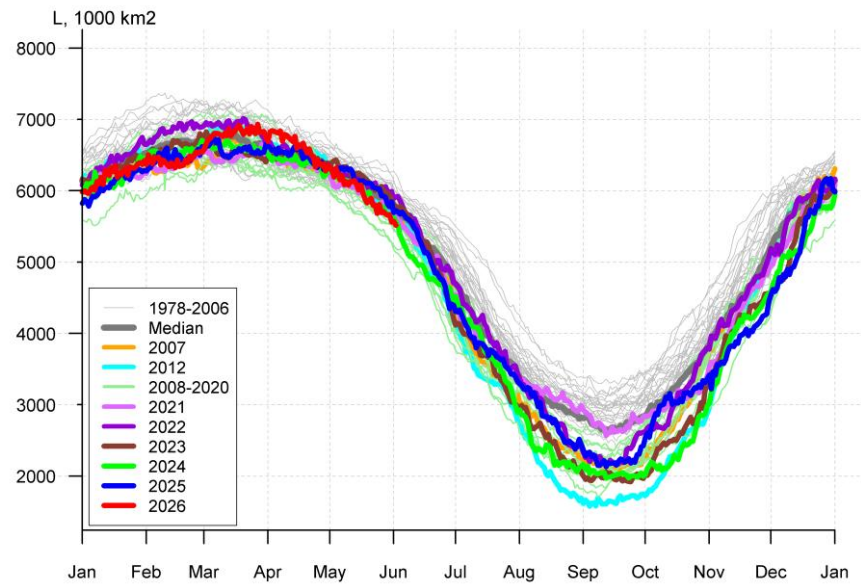
a)



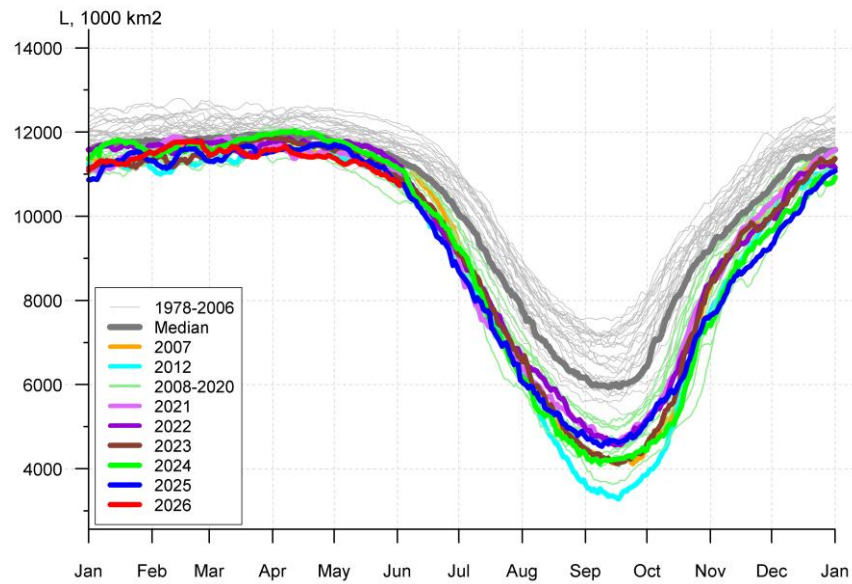
б)



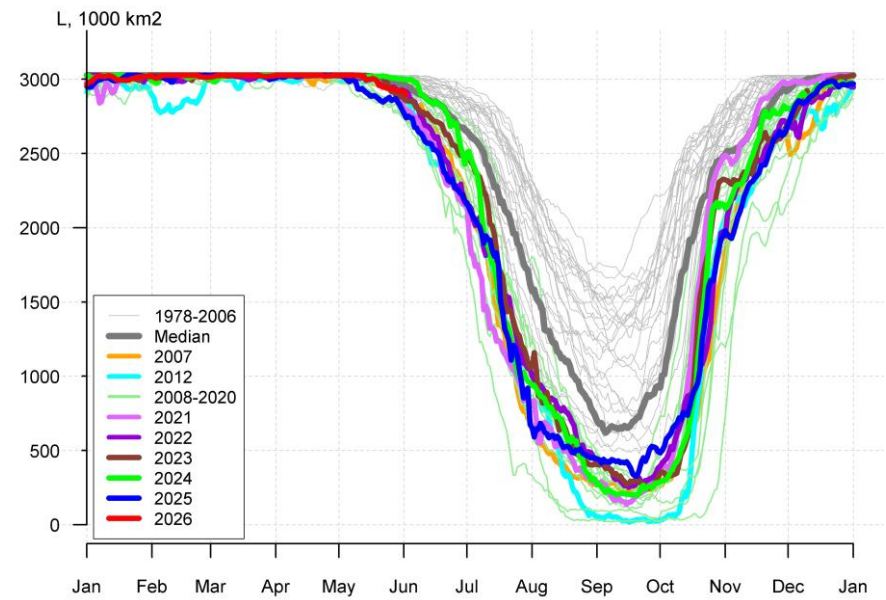
B)



г)



д)



е)

Рисунок 6а – Ежедневные оценки сезонного хода ледовитости для Северной Полярной Области и трех меридиональных секторов, СЛО и морей СМП за период 26.10.1978 – последний доступный срок по годам на основе расчетов по данным SSMR-SSM/I-SSMIS, алгоритмы NASATEAM: а) Северная полярная область, б) сектор 45°W-95°E (Гренландское – Карское моря), в) сектор 95°E-170°W (моря Лаптевых – Чукотское и Берингово, Охотское), г) сектор 170°W-45°W (море Бофорта и Канадская Арктика), д) Северный Ледовитый океан, е) Северный морской путь (Карское - Чукотское моря) [13-17].

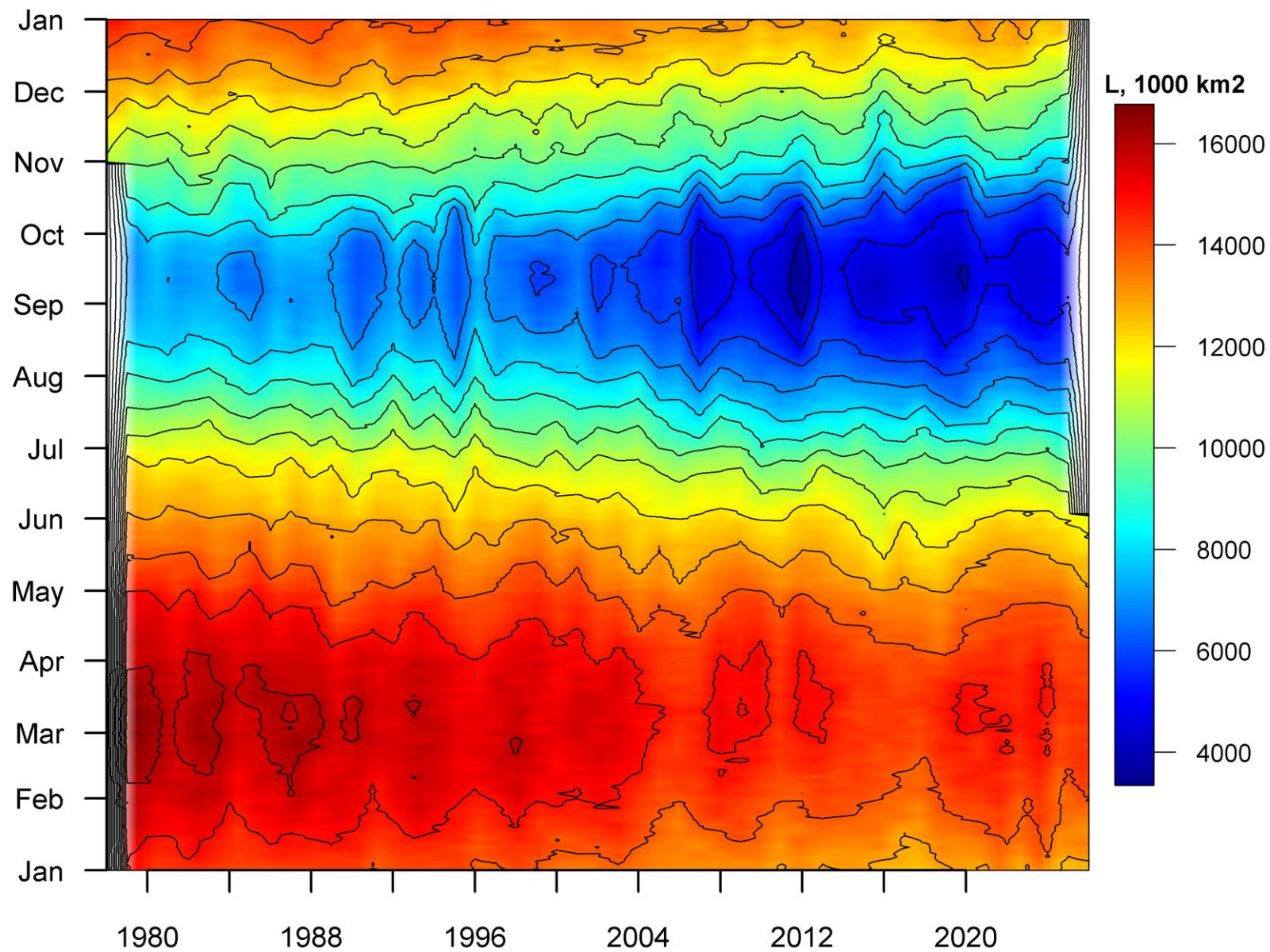


Рисунок 66 – Ежедневные оценки сезонных изменений ледовитости для Северной Полярной Области за период 26.10.1978 – последний доступный срок на основе расчетов по данным SSMR-SSM/I-SSMIS, алгоритм NASATEAM [13-17].

Южный океан

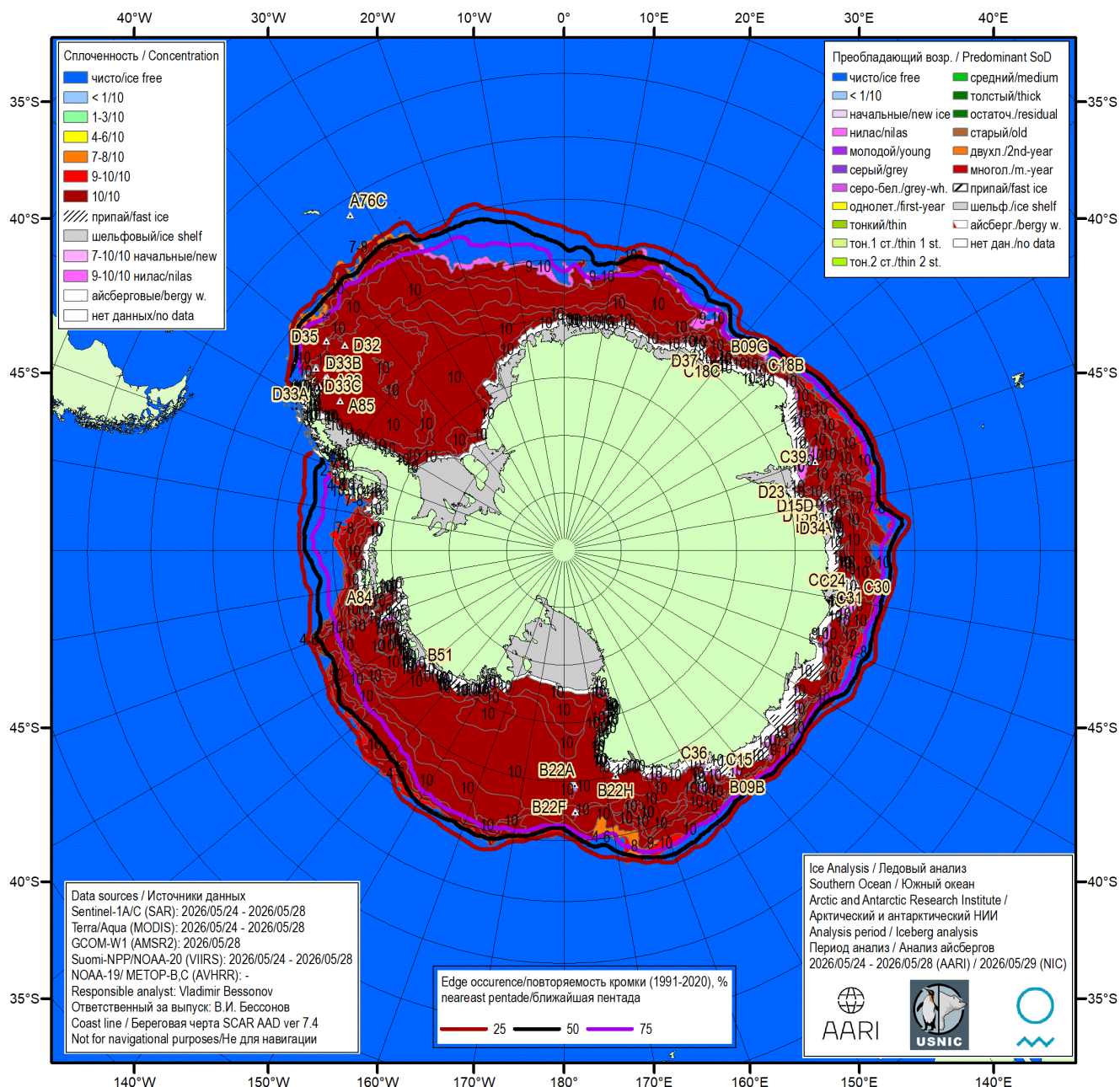


Рисунок 7а – Ледовая карта Южного океана (цветовая окраска по общей сплоченности) и расположение крупных айсбергов на основе ледового анализа за 28.05.2026 в рамках проекта совместного ледового картирования Южного океана ААНИИ, НЛЦ США и НМИ и повторяемость кромки за ближайшую пентаду за период 1991-2020 гг. по наблюдениям SSMR-SSM/I-SSMIS (алгоритм NASATEAM) [5, 10, 17, 21]

h

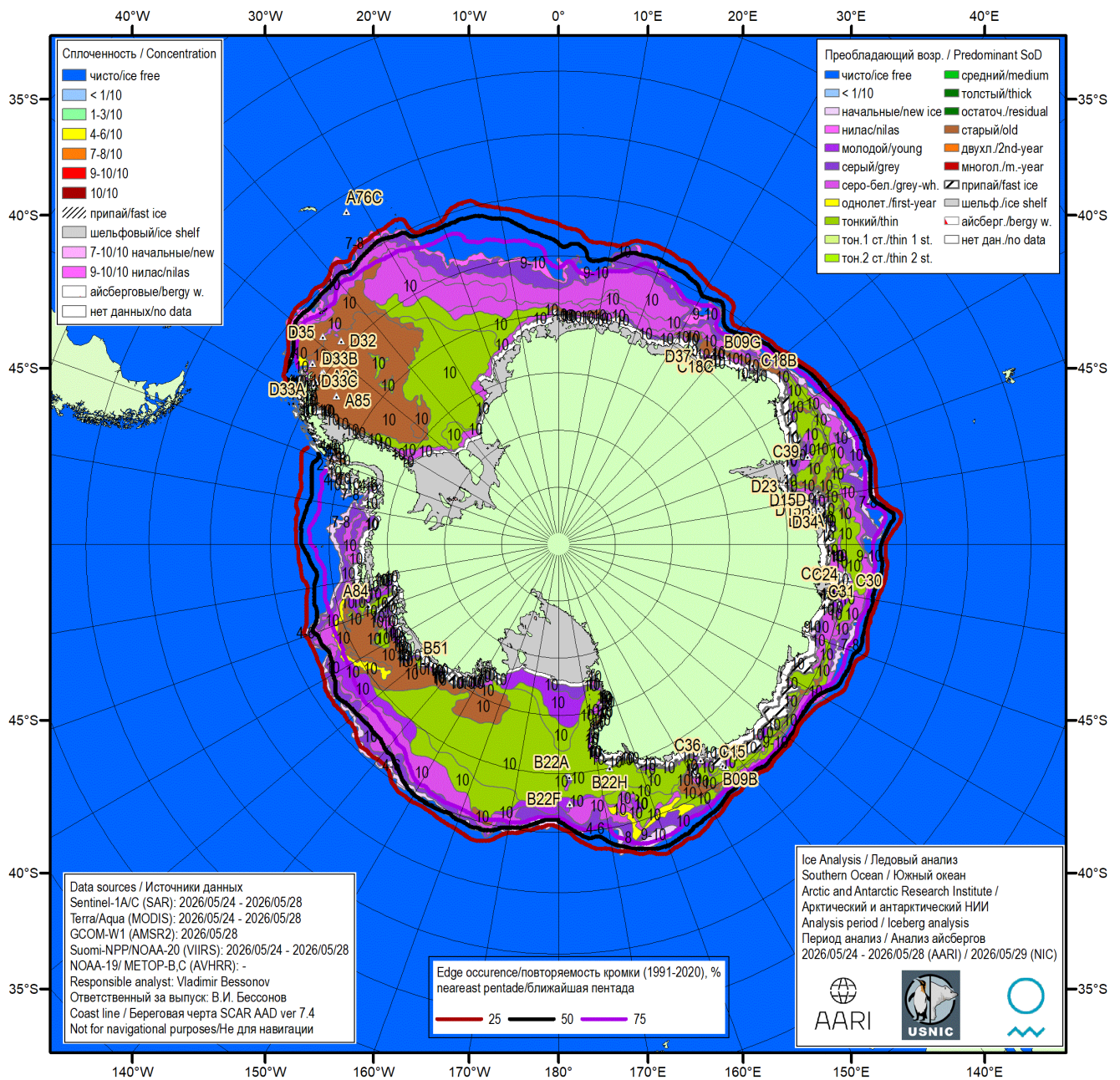


Рисунок 76 – Ледовая карта Южного океана (цветовая окраска по возрасту) и расположение крупных айсбергов на основе ледового анализа за 28.05.2026 в рамках проекта совместного ледового картирования Южного океана ААНИИ, НЛЦ США и НМИ и повторяемость кромки за ближайшую пентаду за период 1991-2020 гг. по наблюдениям SSMR-SSM/I-SSMIS (алгоритм NASATEAM) [5, 10, 17, 21].

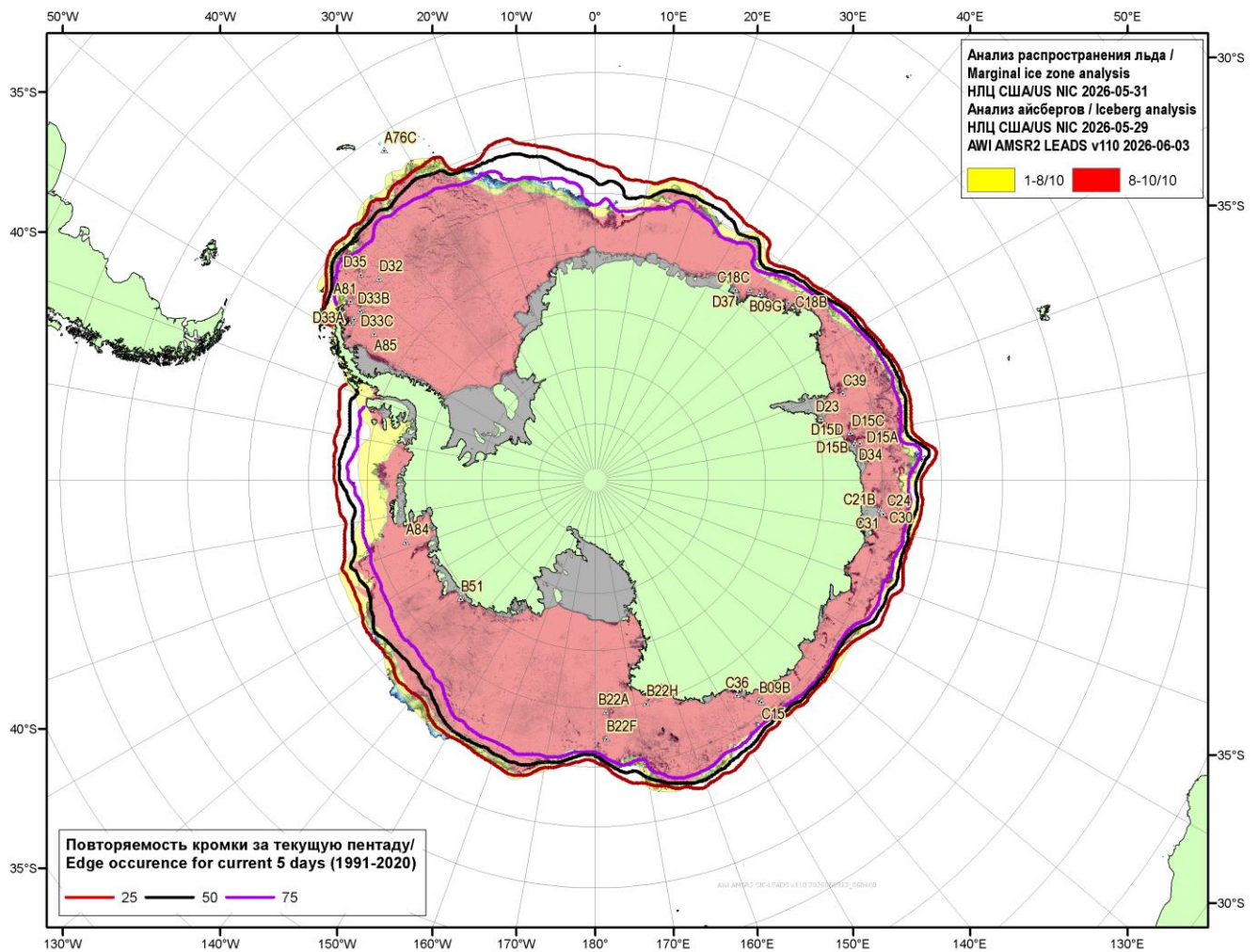


Рисунок 7в – Положение кромки льда и зон разреженных ($<8/10$) и сплоченных ($\geq 8/10$) льдов Южного океана за 31.05.2026 и расположение крупных айсбергов за 29.05.2026 на основе ледового анализа Национального Ледового Центра США, повторяемость кромки за ближайшую пентаду за период 1991-2020 гг. по наблюдениям SSMR-SSM/I-SSMIS (алгоритм NASATEAM), совмещенное с положением разрежений на основе данных ИСЗ AMSR2 за 03.06.2026 (AWI-JAXA, v110) [10, 17, 24]

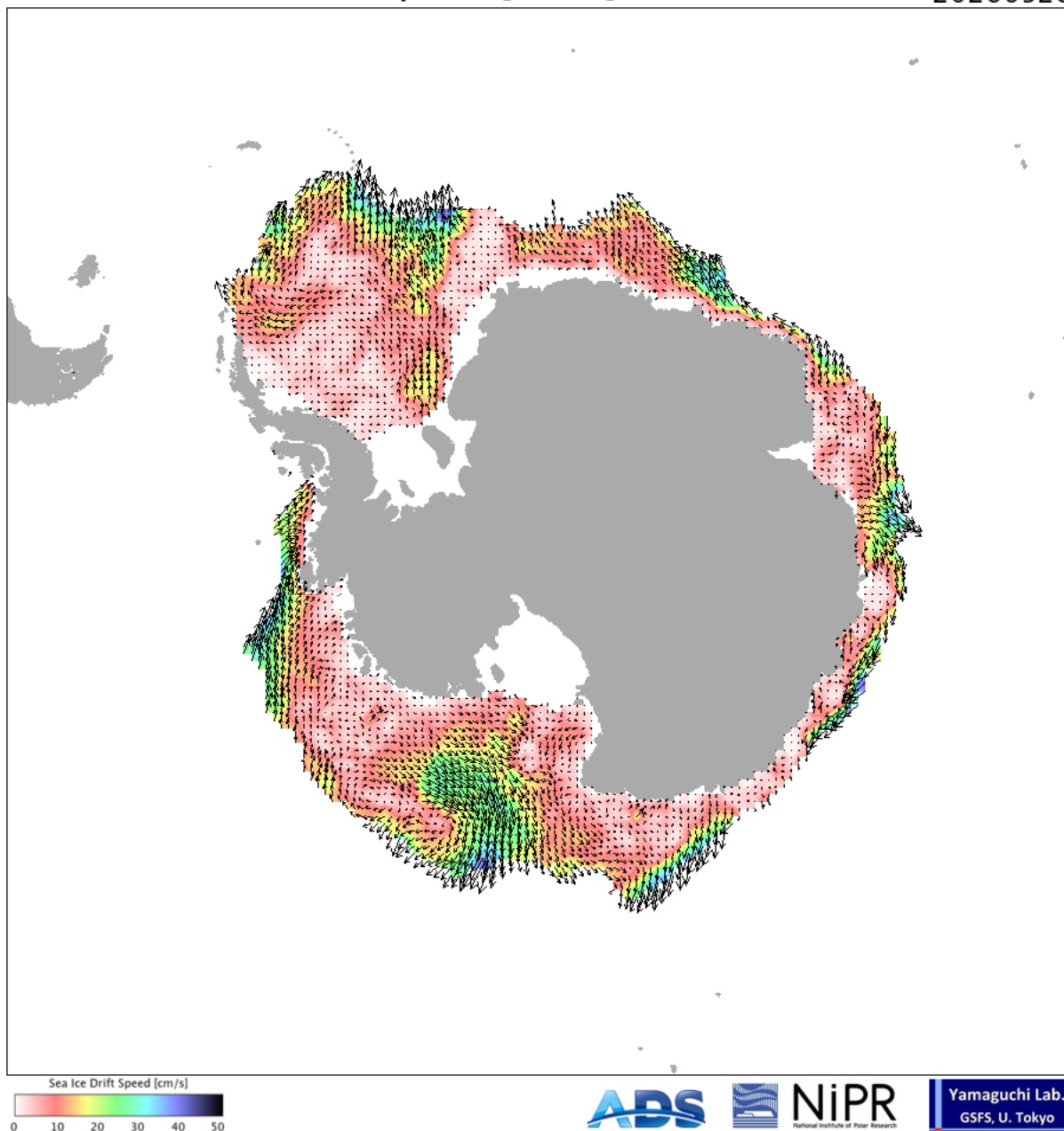


Рисунок 7г – Поле дрейфа морского льда Южного океана за последний доступный срок по данным AMSR2, источник JAXA [29]



NiPR
National Institute of Polar Research

Yamaguchi Lab.
GSFS, U. Tokyo

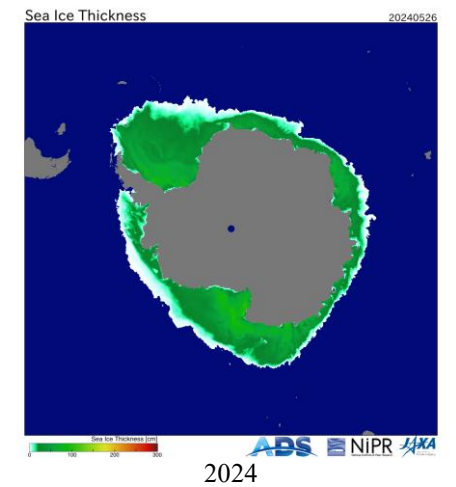
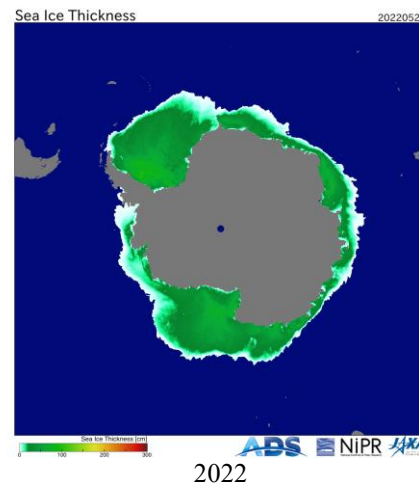
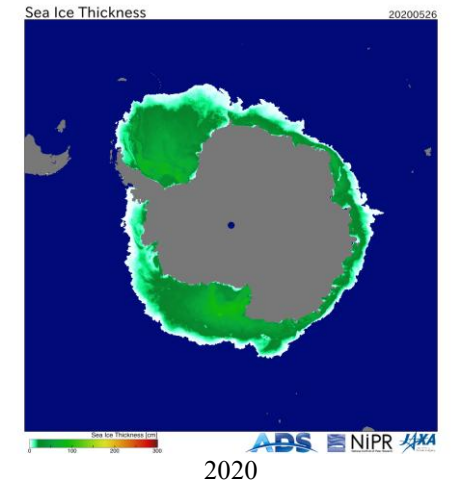
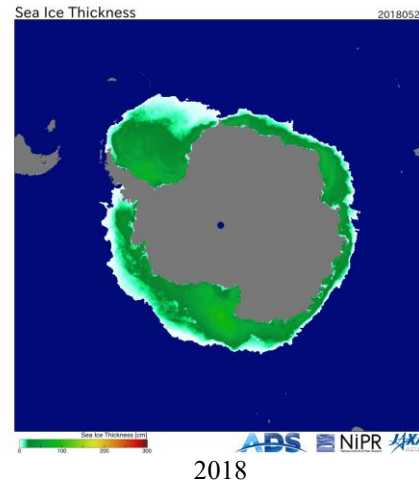
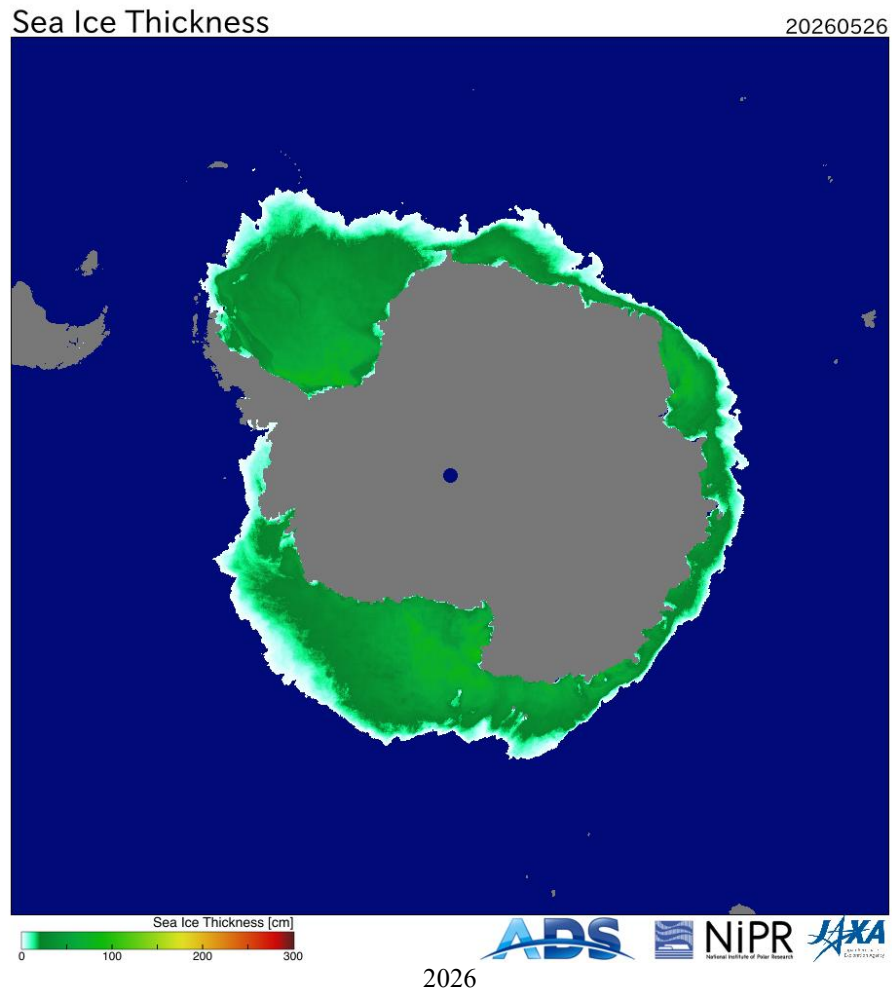


Рисунок 8а - Оценка толщины льда и степени разрушенности на основе данных пассивного микроволнового зондирования AMSR2 26.05 в 2018 – 2026 гг. [29].

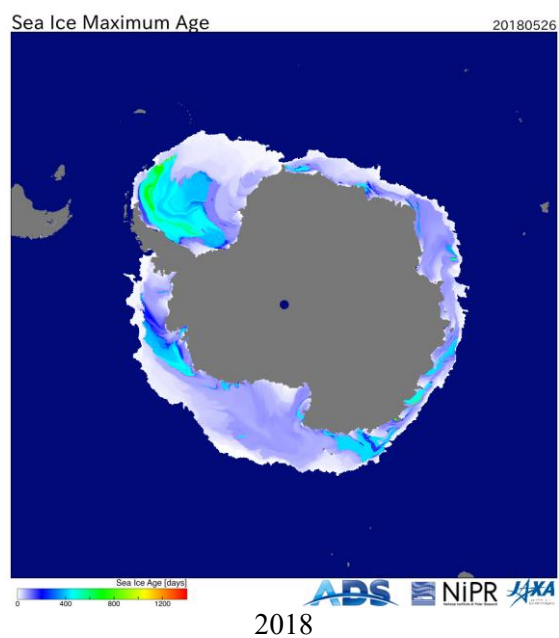
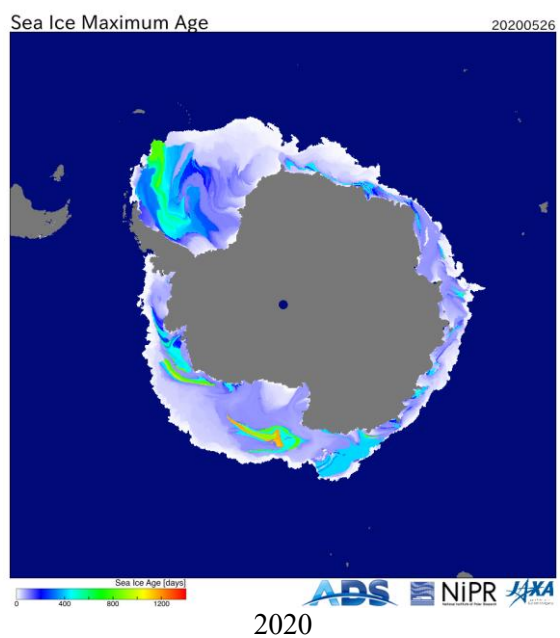
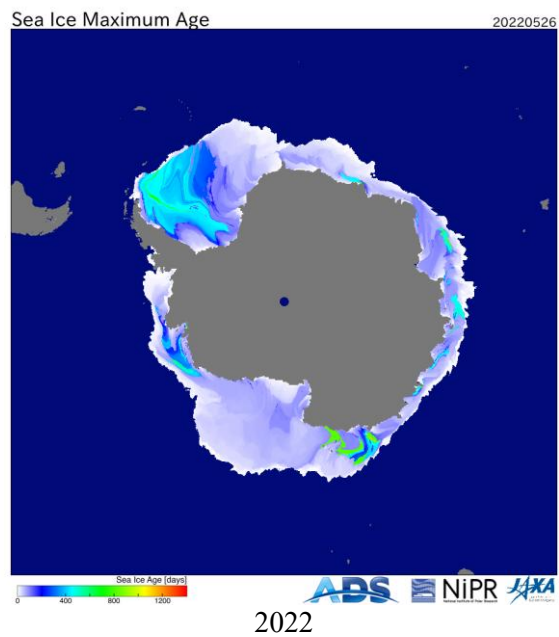
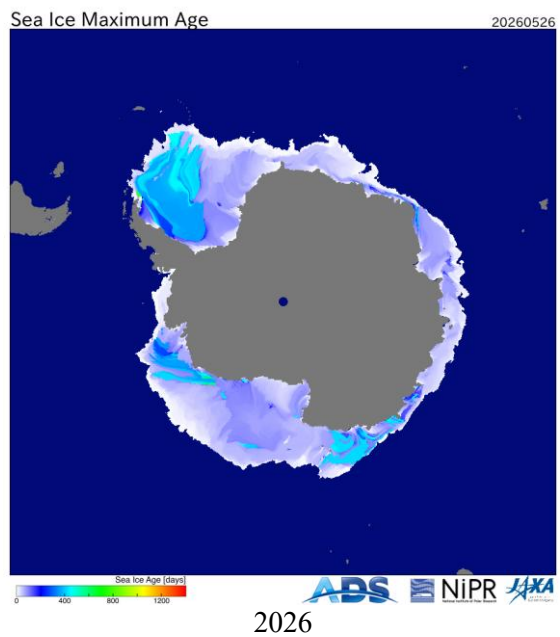


Рисунок 86 – Оценка максимального возраста льда (сутки) на 26.05 за 2018 – 2026 гг. по данным JAXA-NIPR [29]

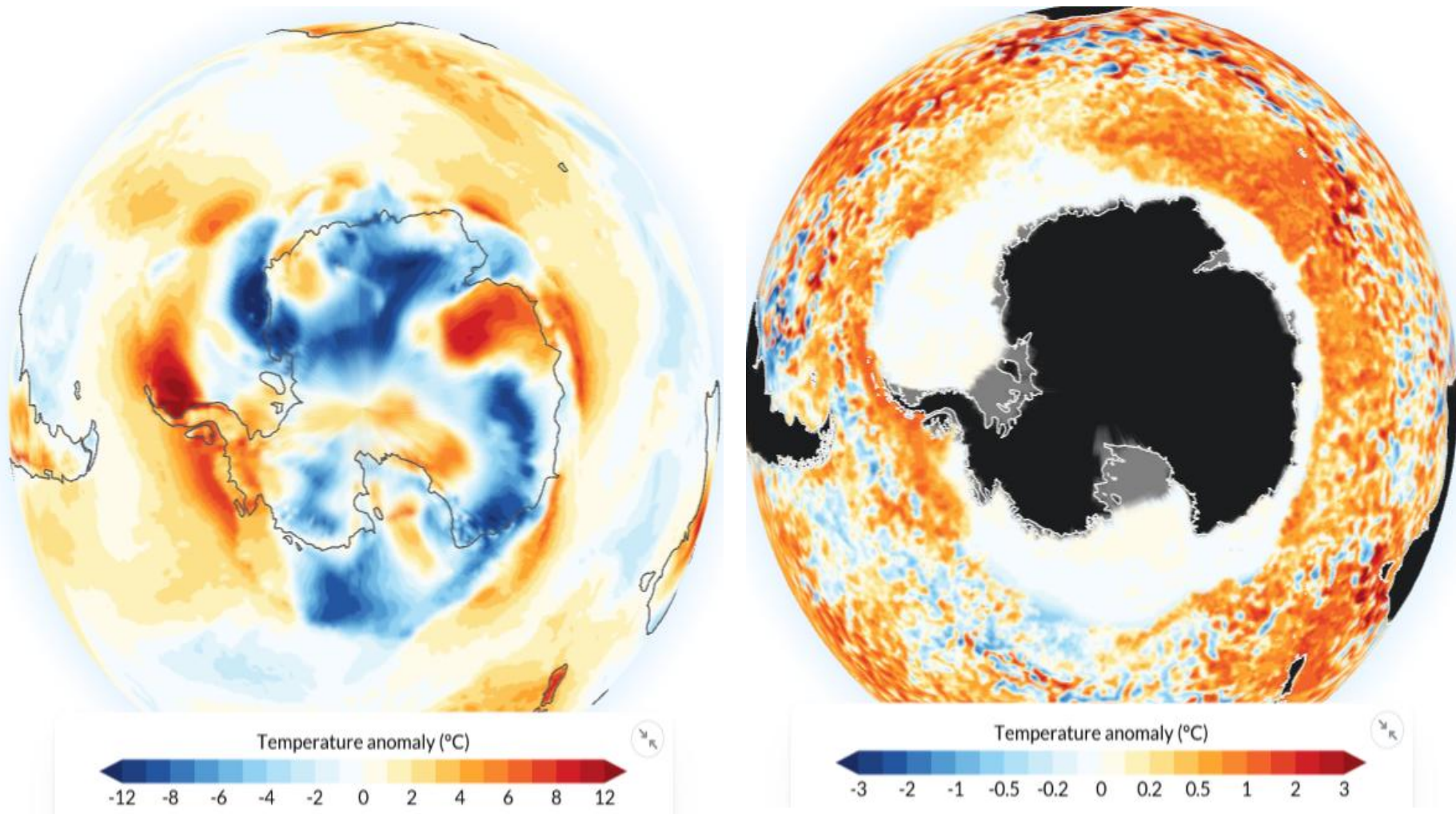
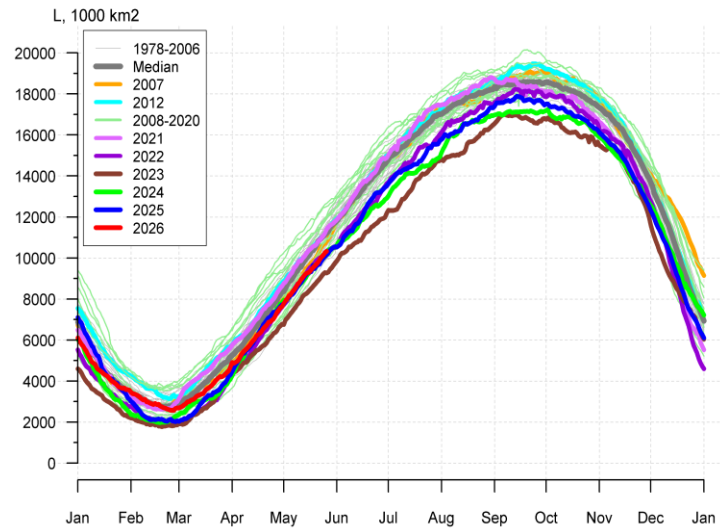


Рисунок 9 – Аномалия приземной температуры воздуха (2м) на 02.06.2026 г. относительно периода 1991-2020 гг. - The [Copernicus Climate Change Service \(C3S\)](#), implemented by the [European Centre for Medium-Range Weather Forecasts \(ECMWF\)](#) on behalf of the European Commission is part of the European Union's space programme.

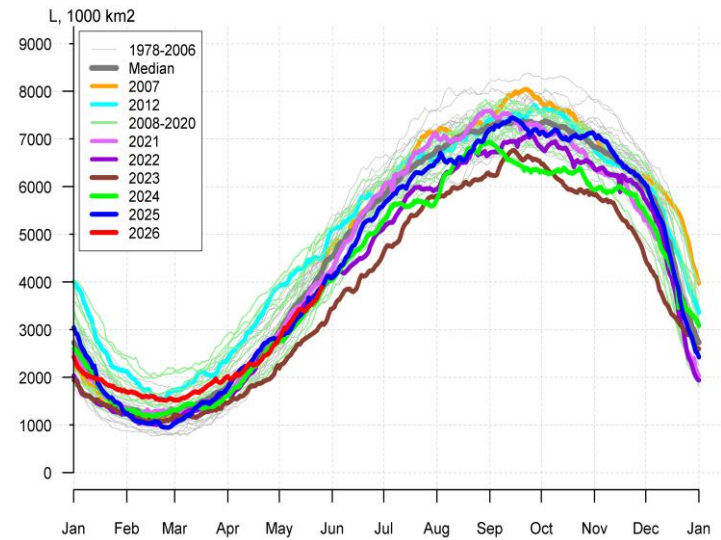
Таблица 4 – Линейные размеры и площадь крупных айсбергов Южного океана на основе анализа НЛЦ США за 03.04.2026 [11]

Имя	Длина км	Ширина км	Площадь кв.км	Имя	Длина км	Ширина км	Площадь кв.км
D15A	94.5	40.7	3049.4	A84	22.2	11.1	201.2
A81	51.9	46.3	1448.4	D15C	25.9	13.0	192.7
B22A	53.7	46.3	1436.1	A83	22.2	13.0	189.8
C36	42.6	29.6	855.8	D34	20.4	14.8	163.5
D33A	63.0	18.5	642.3	B09G	22.2	13.0	160.9
D15B	37.0	22.2	616.4	C18B	18.5	7.4	111.2
B09B	50.0	18.5	505.5	D23	13.0	11.1	110.4
D37	55.6	13.0	477.8	D32	16.7	11.1	103.7
D35	51.9	11.1	347.5	B22H	14.8	11.1	78.2
D33B	38.9	22.2	304.6	C30	16.7	5.6	76.3
A76C	29.6	13.0	297.1	C31	16.7	5.6	72.1
C21B	22.2	14.8	258.1	C39	14.8	7.4	69.8
B22F	25.9	13.0	247.8	A85	18.5	5.6	62.6
D33C	27.8	13.0	222.3	C24	20.4	5.6	62.3
C15	25.9	18.5	213.0	C18C	18.5	3.7	53.1

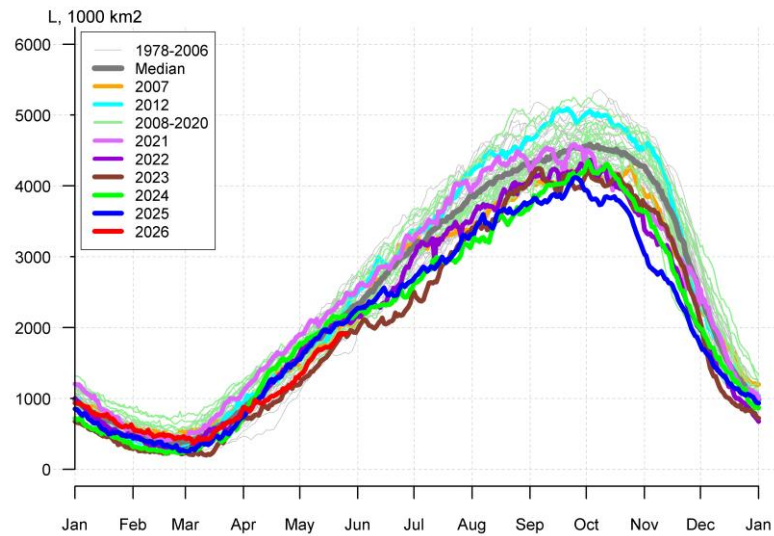
Суммарная площадь == **12630 кв. км** (06.02.2026 – 14264, 26.12.2025 - 14988, 21.11.2025 – 16405, 28.08.2025 – 17450, 18.07.2025 – 18106, 05.06.2025 – 18240, 02.05.2025 – 18445, 27.03.2025 – 18830, 21.02.2025 – 19222, 23.01.2025 – 18636 кв. км)



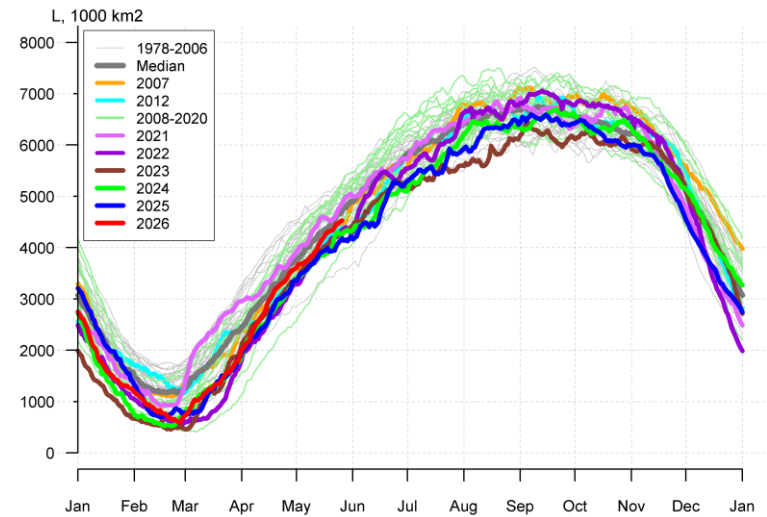
а)



б)



в)



г)

Рисунок 10а – Ежедневные оценки сезонного хода ледовитости Южного Океана и меридиональных секторов за период 26.10.1978 – последний доступный срок по годам на основе расчетов по данным SSMR-SSM/I-SSMIS, алгоритм NASATEAM: а) Южный Океан, б) Атлантический сектор (60°W-30°E, море Уэдделла), в) Индоокеанский сектор (30°E-150°E, моря Космонавтов, Содружества, Моусона), г) Тихоокеанский сектор (150°E-60°W, моря Росса, Беллинсгаузена) [13-17]

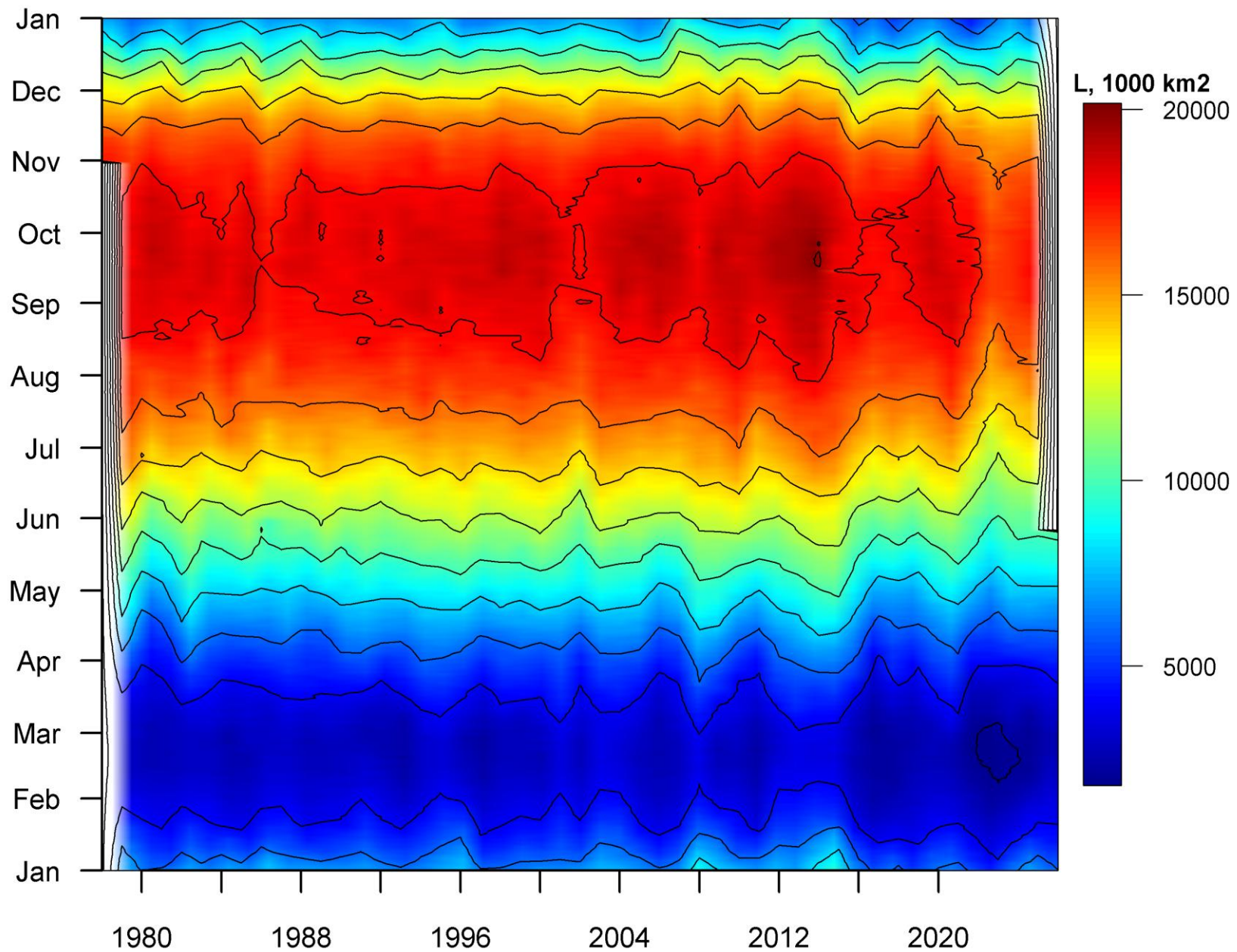


Рисунок 106 – Ежедневные оценки сезонных изменений ледовитости для Южного океана за период 26.10.1978 – последний доступный срок на основе расчетов по данным SSMR-SSM/I-SSMIS, алгоритм NASATEAM [13-17].

Таблица 5 – Медианные и экстремальные значения ледовитости для Южного океана и 3 меридиональных секторов за текущие 30 и 7-дневные интервалы и её аномалии от 2020-2024 гг. и интервалов 2015-2025 гг. и 1978-2025 гг. по данным наблюдений SSMR-SSM/I [13-17]

Южный Океан								
Месяц	S, тыс. км2	Аномалии, тыс км2/%						
		2021 г	2022 г	2023 г	2024 г	2025 г	2016-2026гг	1978-2026гг
01-31.05	9104.8	-1239.0	-230.9	726.7	-172.0	-136.7	-220.8	-921.2
		-12.0	-2.5	8.7	-1.9	-1.5	-2.4	-9.2
25-31.05	10297.1	-1257.3	-86.9	830.8	-101.3	-45.5	-224.5	-993.3
		-10.9	-0.8	8.8	-1.0	-0.4	-2.1	-8.8

Атлантический сектор (60°W-30°E, море Уэдделла)								
Месяц	S, тыс. км2	Аномалии, тыс км2/%						
		2021 г	2022 г	2023 г	2024 г	2025 г	2016-2026гг	1978-2026гг
01-31.05	3362.4	-274.4	-99.2	580.5	2.8	-89.2	-39.2	-384.1
		-7.5	-2.9	20.9	0.1	-2.6	-1.2	-10.3
25-31.05	3861.0	-272.1	-78.2	649.3	-74.8	-157.8	-96.7	-464.7
		-6.6	-2.0	20.2	-1.9	-3.9	-2.4	-10.7

Индоокеанский сектор (30°E-150°E, моря Космонавтов, Содружества, Моусона)								
Месяц	S, тыс. км2	Аномалии, тыс км2/%						
		2021 г	2022 г	2023 г	2024 г	2025 г	2016-2026гг	1978-2026гг
01-31.05	1680.6	-532.3	-266.6	55.9	-338.0	-257.7	-211.4	-271.6
		-24.1	-13.7	3.4	-16.7	-13.3	-11.2	-13.9
25-31.05	1917.6	-555.9	-189.7	-7.1	-244.0	-245.2	-202.8	-325.5
		-22.5	-9.0	-0.4	-11.3	-11.3	-9.6	-14.5

Тихоокеанский сектор (150°E-60°W, моря Росса, Беллинсгаузена)								
Месяц	S, тыс. км2	Аномалии, тыс км2/%						
		2021 г	2022 г	2023 г	2024 г	2025 г	2016-2026гг	1978-2026гг
01-31.05	4061.8	-432.3	135.0	90.3	163.1	210.2	29.8	-265.5
		-9.6	3.4	2.3	4.2	5.5	0.7	-6.1
25-31.05	4518.5	-429.2	181.1	188.6	217.5	357.4	75.0	-203.1
		-8.7	4.2	4.4	5.1	8.6	1.7	-4.3

Южный Океан				
Месяц	Минимальное знач.	Максимальное знач.	Среднее знач.	Медиана
25-31.05	9273.8 26.05.2023	12977.5 31.05.2014	11305.4	11360.9

Атлантический сектор (60°W-30°E, море Уэдделла)				
Месяц	Минимальное знач.	Максимальное знач.	Среднее знач.	Медиана
25-31.05	3095.2 25.05.2023	5346.9 31.05.2003	4332.8	4376.5

Индоокеанский сектор (30°E-150°E, моря Космонавтов, Содружества, Моусона)				
Месяц	Минимальное знач.	Максимальное знач.	Среднее знач.	Медиана
25-31.05	1630.2 27.05.1986	2755.5 29.05.1989	2248.0	2245.7

Тихоокеанский сектор (150°E-60°W, моря Росса, Беллинсгаузена)				
Месяц	Минимальное знач.	Максимальное знач.	Среднее знач.	Медиана
25-31.05	3573.4 29.05.1980	5466.9 31.05.1999	4724.6	4770.3

Таблица 6 – Динамика изменения значений ледовитости по сравнению с предыдущей неделей для морей Южного океана за 25.05 – 31.05.2026 по данным наблюдений SSMR-SSM/I-SSMIS [13-17]

Регион	Южный Океан	Атлантический сектор	Индоокеанский сектор	Тихоокеанский сектор
Разность	476.2	265.4	66.3	144.5
тыс.кв.км/сут.	68.0	37.9	9.5	20.6

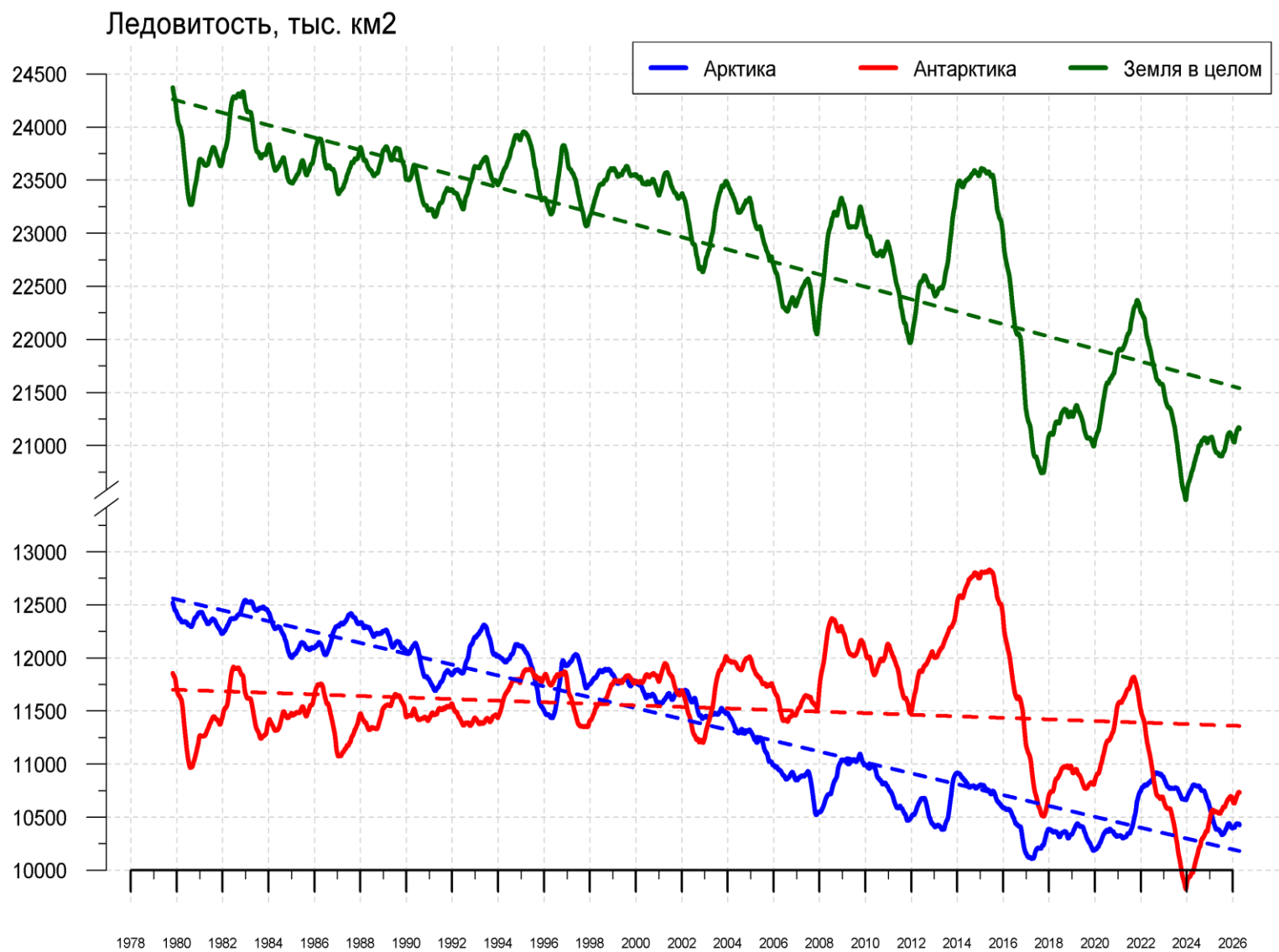


Рисунок 11а – Ежедневные сглаженные окном 365 суток значения ледовитости (площади распространения морского льда) Арктики, Антарктики и Земли в целом с 26.10.1978 по последний доступный срок на основе SSMR-SSM/I-SSMIS [13-17]

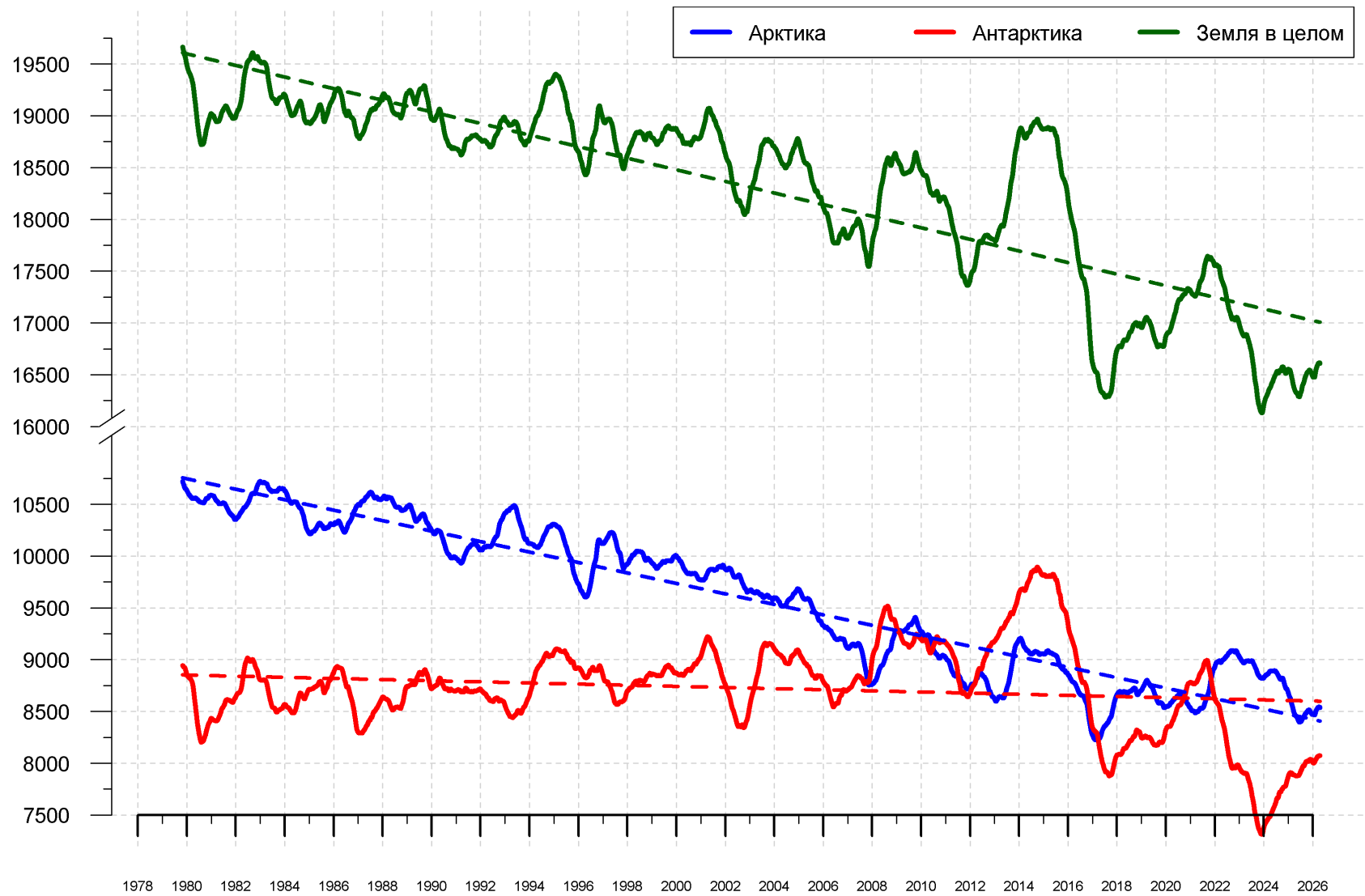


Рисунок 116 – Ежедневные сглаженные окном 365 суток значения приведенной ледовитости (площади морского льда) Арктики, Антарктики и Земли в целом с 25.10.1978 по последний доступный срок на основе SSMR-SSM/I-SSMIS [13-17]

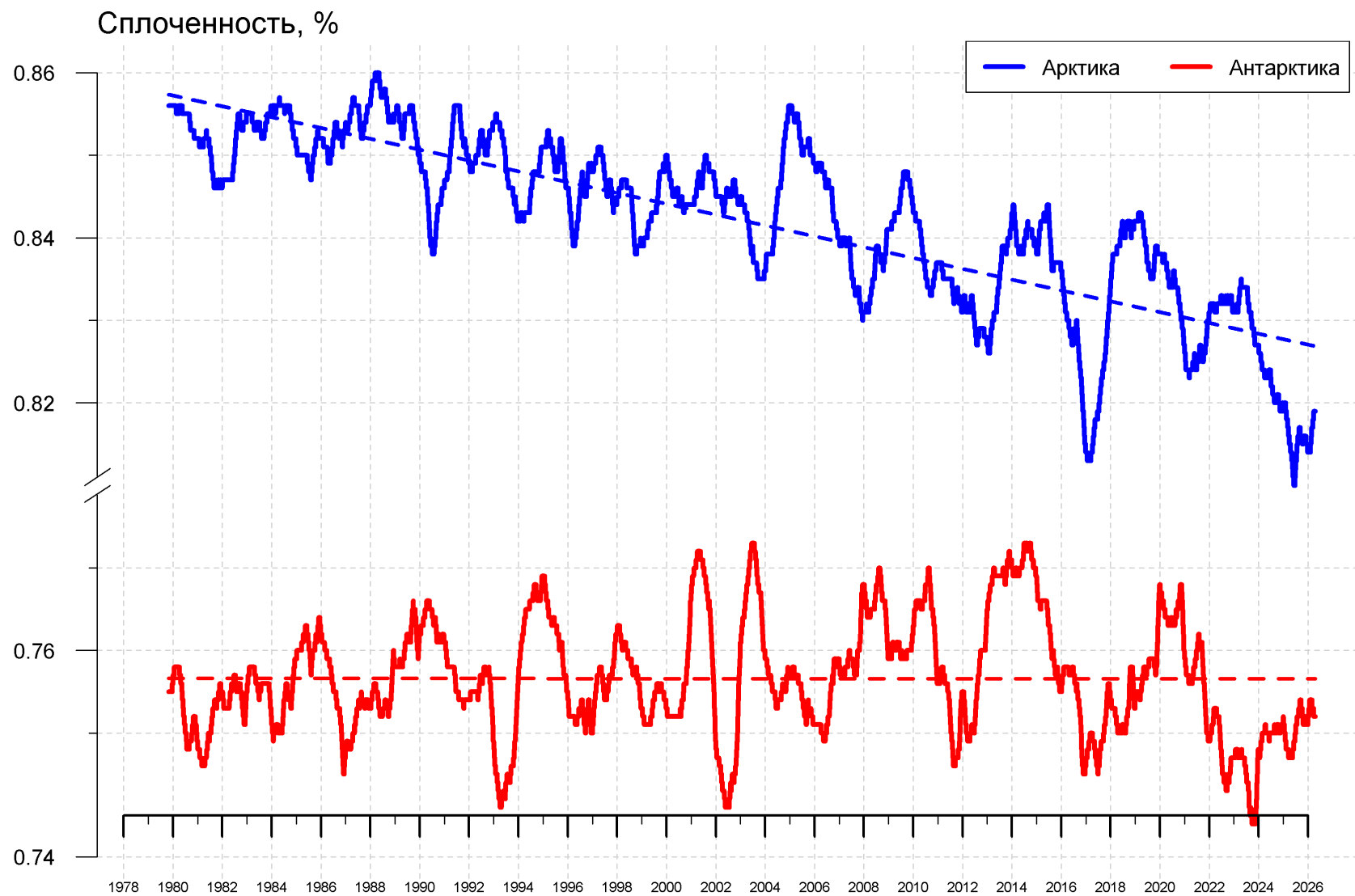


Рисунок 11в – Ежедневные сглаженные окном 365 суток значения средней общей сплоченности Арктики и Антарктики с 07.11.1978 по последний доступный срок на основе SSMR-SSM/I-SSMIS [13-17]

Приложение 1 – Статистические значения ледовитостей по отдельным акваториям Северной Полярной Области и Южного океана

Таблица 8 – Средние, аномалии среднего и экстремальные значения ледовитостей для Северной и Южной полярных областей и её отдельных акваторий за текущие 7-дневный (неделя) и 30-дневный промежутки времени по данным наблюдений SSMR-SSM/I-SSMIS, алгоритм NASATEAM за период 1978-2024 гг.

25-31.05

Регион	S, тыс. км2	Аномалии, тыс км2/%							1978-2026гг			
		2007 г	2012 г	2023 г	2024 г	2025 г	2016-2026гг	1978-2026гг	Минимум дата	Максимум дата	Среднее	Медиана
Сев. полярная область	11858.1	-569.1	-679.6	-564.9	-576.6	-313.7	-199.3	-815.6	11180.2	13778.7	12673.7	12644.7
		-4.6	-5.4	-4.5	-4.6	-2.6	-1.7	-6.4	31.05.2016	25.05.1985		
Сектор 45°W-95°E	2672.3	-283.7	-211.3	-220.3	-492.5	-118.9	-174.3	-507.0	2360.4	3974.0	3179.3	3156.8
		-9.6	-7.3	-7.6	-15.6	-4.3	-6.1	-15.9	31.05.2016	27.05.1981		
Гренландское море	600.0	-84.7	-160.2	-205.2	-103.1	-70.9	-53.1	-111.4	481.1	903.5	711.4	713.1
		-12.4	-21.1	-25.5	-14.7	-10.6	-8.1	-15.7	26.05.2018	29.05.1996		
Баренцево море	234.6	-135.1	-40.3	-18.1	-318.8	-75.0	-115.6	-333.7	92.1	1128.3	568.4	546.7
		-36.5	-14.7	-7.1	-57.6	-24.2	-33.0	-58.7	30.05.2016	25.05.1979		
Карское море	838.2	5.1	50.0	84.0	-1.0	99.3	42.1	18.9	673.6	839.2	819.3	837.0
		0.6	6.3	11.1	-0.1	13.4	5.3	2.3	27.05.2020	25.05.1979		
Сектор 95°E-170°W	3504.3	-62.3	-367.7	-52.6	-54.5	14.4	-0.5	-133.6	3372.8	3985.1	3637.9	3623.7
		-1.7	-9.5	-1.5	-1.5	0.4	0.0	-3.7	31.05.2018	25.05.1985		
Море Лаптевых	658.8	54.8	13.6	6.9	-15.3	58.2	14.2	-0.7	572.4	674.3	659.5	673.6
		9.1	2.1	1.1	-2.3	9.7	2.2	-0.1	31.05.2021	25.05.1984		
Восточно-Сибирское море	878.8	-29.7	-35.7	-36.3	-36.3	-36.2	-27.0	-30.2	776.1	915.1	909.1	915.1
		-3.3	-3.9	-4.0	-4.0	-4.0	-3.0	-3.3	31.05.1990	25.05.1980		
Чукотское море	552.6	-13.9	-40.2	-31.1	-25.9	-41.9	22.2	-11.1	410.1	597.3	563.7	574.6
		-2.5	-6.8	-5.3	-4.5	-7.1	4.2	-2.0	31.05.2019	25.05.1980		
Берингово море	76.7	-93.4	-413.0	-83.1	-55.8	-50.4	-16.5	-98.7	10.1	560.1	175.4	153.1
		-54.9	-84.3	-52.0	-42.1	-39.6	-17.7	-56.3	25.05.2018	25.05.2012		
Сектор 170°W-45°W	5749.6	-155.0	-32.5	-223.8	38.6	-141.0	37.5	-108.2	5278.6	6393.6	5859.5	5853.8
		-2.6	-0.6	-3.7	0.7	-2.4	0.7	-1.8	31.05.2016	25.05.1984		
Море Бофорта	460.4	-26.2	27.6	-21.5	-6.8	-26.2	8.5	-8.5	307.4	486.6	468.8	485.3
		-5.4	6.4	-4.5	-1.5	-5.4	1.9	-1.8	27.05.2016	25.05.1980		
Гудзонов залив	827.0	2.6	2.3	33.2	187.4	28.8	46.8	21.8	620.7	839.0	805.2	818.5
		0.3	0.3	4.2	29.3	3.6	6.0	2.7	30.05.2024	25.05.1983		
Море Лабрадор	12.4	-160.5	-105.1	-104.7	-50.6	-89.3	-79.8	-116.2	4.6	338.3	128.6	116.4
		-92.8	-89.4	-89.4	-80.3	-87.8	-86.5	-90.4	29.05.2026	28.05.1984		
Дейвисов пролив	268.8	-92.1	-72.7	-126.8	-57.1	-94.7	-77.0	-91.8	260.1	485.6	360.5	353.9
		-25.5	-21.3	-32.1	-17.5	-26.1	-22.3	-25.5	30.05.1995	25.05.1990		
Канадский архипелаг	1165.9	22.9	1.0	26.6	13.2	35.6	10.8	-3.7	1111.3	1190.1	1169.6	1175.0
		2.0	0.1	2.3	1.1	3.2	0.9	-0.3	30.05.2025	25.05.1979		

01-31.05

Регион	S, тыс. км2	Аномалии, тыс км2/%							1978-2026гг			
		2007 г	2012 г	2023 г	2024 г	2025 г	2016-2026гг	1978-2026гг	Минимум дата	Максимум дата	Среднее	Медиана
Сев. полярная область	12397.6	-501.1	-689.2	-654.5	-571.0	-410.6	-220.7	-803.8	11180.2	15065.7	13201.4	13208.5
		-3.9	-5.3	-5.0	-4.4	-3.2	-1.7	-6.1	31.05.2016	01.05.1982		
Сектор 45°W-95°E	2788.7	-230.9	-127.1	-330.9	-462.1	-233.3	-218.0	-507.1	2360.4	4222.3	3295.9	3272.5
		-7.6	-4.4	-10.6	-14.2	-7.7	-7.3	-15.4	31.05.2016	01.05.1979		
Гренландское море	621.8	-78.0	-138.6	-195.3	-107.4	-129.7	-56.7	-112.2	468.8	1005.3	734.0	725.8
		-11.1	-18.2	-23.9	-14.7	-17.3	-8.4	-15.3	24.05.2018	01.05.1988		
Баренцево море	319.4	-95.4	27.2	-89.7	-281.4	-88.9	-133.2	-313.1	92.1	1190.9	632.5	607.9
		-23.0	9.3	-21.9	-46.8	-21.8	-29.4	-49.5	30.05.2016	01.05.1979		
Карское море	838.9	1.5	39.2	23.0	2.9	57.0	20.8	9.8	673.6	839.2	829.1	839.2
		0.2	4.9	2.8	0.3	7.3	2.5	1.2	27.05.2020	01.05.1979		
Сектор 95°E-170°W	3638.6	-182.5	-495.0	-113.2	-91.5	-14.5	-28.5	-216.3	3372.8	5012.0	3854.8	3812.3
		-4.8	-12.0	-3.0	-2.5	-0.4	-0.8	-5.6	31.05.2018	01.05.1980		
Море Лаптевых	667.0	24.8	-0.6	-1.4	-7.3	44.0	4.9	-1.7	572.4	674.3	668.7	674.3
		3.9	-0.1	-0.2	-1.1	7.1	0.7	-0.3	31.05.2021	01.05.1979		
Восточно-Сибирское море	900.5	-13.1	-14.5	-14.6	-14.6	-14.2	-11.3	-11.9	776.1	915.1	912.4	915.1
		-1.4	-1.6	-1.6	-1.6	-1.5	-1.2	-1.3	31.05.1990	01.05.1979		
Чукотское море	579.2	-8.1	-16.7	-14.7	-13.5	-15.3	18.1	-2.5	410.1	597.3	581.7	596.1
		-1.4	-2.8	-2.5	-2.3	-2.6	3.2	-0.4	31.05.2019	01.05.1979		
Берингово море	222.9	-124.6	-433.5	-104.4	-89.7	-42.1	18.8	-99.4	10.1	844.7	322.4	304.9
		-35.9	-66.0	-31.9	-28.7	-15.9	9.2	-30.8	25.05.2018	01.05.2012		
Сектор 170°W-45°W	6013.2	-44.8	-24.2	-167.6	25.6	-119.9	64.8	-38.4	5278.6	6685.3	6051.8	6059.2
		-0.7	-0.4	-2.7	0.4	-2.0	1.1	-0.6	31.05.2016	01.05.1984		
Море Бофорта	478.0	-8.6	15.8	-7.6	-4.2	-8.6	8.6	-0.9	307.4	486.6	478.9	486.6
		-1.8	3.4	-1.6	-0.9	-1.8	1.8	-0.2	27.05.2016	01.05.1979		
Гудзонов залив	827.6	-6.0	-4.5	4.1	76.1	9.8	14.5	2.5	620.7	839.0	825.1	837.2
		-0.7	-0.5	0.5	10.1	1.2	1.8	0.3	30.05.2024	01.05.1979		
Море Лабрадор	66.3	-129.9	-100.7	-76.6	-16.2	-42.1	-50.6	-94.6	4.6	452.4	160.8	146.3
		-66.2	-60.3	-53.6	-19.6	-38.8	-43.3	-58.8	29.05.2026	01.05.1993		
Дейвисов пролив	304.1	-63.5	-79.4	-82.2	-38.4	-98.4	-68.4	-90.9	260.1	604.9	395.1	388.0
		-17.3	-20.7	-21.3	-11.2	-24.4	-18.4	-23.0	30.05.1995	03.05.1993		
Канадский архипелаг	1179.4	12.0	-2.1	11.5	0.6	9.7	6.0	-0.4	1111.3	1190.1	1179.9	1187.6
		1.0	-0.2	1.0	0.0	0.8	0.5	0.0	30.05.2025	01.05.1979		

25-31.05

Регион	S, тыс. км2	Аномалии, тыс км2/%							1978-2026гг			
		2007 г	2012 г	2023 г	2024 г	2025 г	2016-2026гг	1978-2026гг	Минимум дата	Максимум дата	Среднее	Медиана
Южный Океан	10297.1	-821.4	-1188.1	830.8	-101.3	-45.5	-224.5	-993.3	9273.8	12977.5	11305.4	11360.9
		-7.4	-10.3	8.8	-1.0	-0.4	-2.1	-8.8	26.05.2023	31.05.2014		
Атлантический сектор	3861.0	-637.9	-885.2	649.3	-74.8	-157.8	-96.7	-464.7	3095.2	5346.9	4332.8	4376.5
		-14.2	-18.7	20.2	-1.9	-3.9	-2.4	-10.7	25.05.2023	31.05.2003		
Западная часть моря Уэдделла	2213.9	-1.4	19.0	452.3	-44.7	147.8	94.5	57.0	1702.8	2522.2	2156.1	2182.3
		-0.1	0.9	25.7	-2.0	7.2	4.5	2.6	27.05.2023	31.05.1980		
Восточная часть моря Уэдделла	1647.1	-636.5	-904.3	196.9	-30.1	-305.7	-191.3	-521.7	1352.7	3044.8	2176.7	2169.6
		-27.9	-35.4	13.6	-1.8	-15.7	-10.4	-24.1	27.05.2019	31.05.2003		
Индоокеанский сектор	1917.6	-123.5	-465.8	-7.1	-244.0	-245.2	-202.8	-325.5	1630.2	2755.5	2248.0	2245.7
		-6.0	-19.5	-0.4	-11.3	-11.3	-9.6	-14.5	27.05.1986	29.05.1989		
Море Космонавтов	224.3	-114.4	-203.7	-3.9	-130.3	27.1	-70.3	-121.2	157.5	702.5	347.4	328.5
		-33.8	-47.6	-1.7	-36.7	13.8	-23.9	-35.1	25.05.1980	31.05.1989		
Море Содружества	705.3	-87.7	-86.3	46.7	-48.6	-95.8	-54.0	-97.2	597.2	1044.5	804.0	810.4
		-11.1	-10.9	7.1	-6.4	-12.0	-7.1	-12.1	25.05.1986	26.05.1998		
Море Моусона	988.0	78.8	-175.8	-49.8	-65.1	-176.5	-78.4	-107.0	773.7	1469.3	1096.7	1079.4
		8.7	-15.1	-4.8	-6.2	-15.2	-7.4	-9.8	27.05.1986	27.05.2000		
Тихоокеанский сектор	4518.5	-60.1	162.9	188.6	217.5	357.4	75.0	-203.1	3573.4	5466.9	4724.6	4770.3
		-1.3	3.7	4.4	5.1	8.6	1.7	-4.3	29.05.1980	31.05.1999		
Море Росса	4318.6	83.1	446.7	374.7	666.6	292.5	352.2	165.2	2642.1	5039.7	4151.0	4148.1
		2.0	11.5	9.5	18.3	7.3	8.9	4.0	29.05.1980	31.05.2009		
Море Беллинсгаузена	199.9	-143.2	-283.8	-186.1	-449.0	65.0	-277.2	-368.2	66.3	1063.1	573.6	559.8
		-41.7	-58.7	-48.2	-69.2	48.2	-58.1	-64.8	30.05.2025	31.05.1991		

01-31.05

Регион	S, тыс. км2	Аномалии, тыс км2/%							1978-2026гг			
		2007 г	2012 г	2023 г	2024 г	2025 г	2016-2026гг	1978-2026гг	Минимум дата	Максимум дата	Среднее	Медиана
Южный Океан	9104.8	-556.3	-1240.4	726.7	-172.0	-136.7	-220.8	-921.2	6755.4	12977.5	10029.1	10021.8
		-5.8	-12.0	8.7	-1.9	-1.5	-2.4	-9.2	01.05.2023	31.05.2014		
Атлантический сектор	3362.4	-422.2	-994.5	580.5	2.8	-89.2	-39.2	-384.1	2192.5	5346.9	3747.8	3743.4
		-11.2	-22.8	20.9	0.1	-2.6	-1.2	-10.3	01.05.2023	31.05.2003		
Западная часть моря Уэдделла	2060.8	-47.0	-107.3	415.3	0.7	194.9	83.6	15.1	1438.4	2522.2	2045.6	2082.8
		-2.2	-5.0	25.2	0.0	10.4	4.2	0.7	03.05.1999	31.05.1980		
Восточная часть моря Уэдделла	1301.6	-375.2	-887.2	165.2	2.1	-284.1	-122.7	-399.1	610.7	3044.8	1702.1	1683.6
		-22.4	-40.5	14.5	0.2	-17.9	-8.6	-23.5	01.05.1988	31.05.2003		
Индоокеанский сектор	1680.6	-116.9	-292.5	55.9	-338.0	-257.7	-211.4	-271.6	1094.4	2755.5	1953.1	1947.6
		-6.5	-14.8	3.4	-16.7	-13.3	-11.2	-13.9	01.05.1980	29.05.1989		
Море Космонавтов	191.3	-119.4	-146.2	0.8	-116.5	27.6	-56.5	-84.2	64.4	702.5	275.8	270.6
		-38.4	-43.3	0.4	-37.8	16.8	-22.8	-30.5	01.05.1987	31.05.1989		
Море Содружества	597.2	-74.7	-101.3	47.9	-74.2	-161.6	-73.0	-107.3	419.7	1044.5	704.9	700.5
		-11.1	-14.5	8.7	-11.0	-21.3	-10.9	-15.2	01.05.2023	26.05.1998		
Море Моусона	892.0	77.2	-45.0	7.3	-147.3	-123.6	-81.9	-80.1	528.4	1469.3	972.4	974.2
		9.5	-4.8	0.8	-14.2	-12.2	-8.4	-8.2	01.05.1980	27.05.2000		
Тихоокеанский сектор	4061.8	-17.2	46.6	90.3	163.1	210.2	29.8	-265.5	2565.1	5466.9	4328.2	4351.6
		-0.4	1.2	2.3	4.2	5.5	0.7	-6.1	01.05.2017	31.05.1999		
Море Росса	3934.2	143.0	233.5	214.1	610.4	219.7	301.4	85.5	2156.7	5039.7	3848.3	3879.0
		3.8	6.3	5.8	18.4	5.9	8.3	2.2	01.05.1980	31.05.2009		
Море Беллинсгаузена	127.7	-160.2	-186.9	-123.7	-447.2	-9.5	-271.6	-351.0	12.6	1063.1	479.9	482.9
		-55.7	-59.4	-49.2	-77.8	-7.0	-68.0	-73.3	08.05.2026	31.05.1991		

Таблица 10 – Динамика изменения значений ледовитости по сравнению с предыдущей неделей для морей Северной полярной области и Южного океана за текущий 7-дневный (неделя) промежуток времени по данным наблюдений SSMIS

25-31.05

Регион	Сев. полярная область	Сектор 45°W-95°E	Гренландское море	Баренцево море
Разность	-251.4	-82.2	-20.4	-67.1
тыс.кв.км/ сут.	-35.9	-11.7	-2.9	-9.6

25-31.05

Регион	Карское море	Сектор 95°E-170°W	Море Лаптевых	Восточно-Сибирское море
Разность	-0.8	-29.5	-1.8	-12.5
тыс.кв.км/ сут.	-0.1	-4.2	-0.3	-1.8

25-31.05

Регион	Чукотское море	Берингово море	Сектор 170°W-45°W	Море Бофорта
Разность	-19.0	-59.5	-71.5	-14.5
тыс.кв.км/ сут.	-2.7	-8.5	-10.2	-2.1

25-31.05

Регион	Гудзонов залив	Море Лабрадор	Дейвисов пролив	Канадский архипелаг
Разность	5.6	-38.6	-14.3	-7.4
тыс.кв.км/ сут.	0.8	-5.5	-2.0	-1.1

25-31.05

Регион	Южный Океан	Атлантический сектор	Западная часть моря Уэдделла	Восточная часть моря Уэдделла
Разность	476.2	265.4	42.1	223.3
тыс.кв.км/ сут.	68.0	37.9	6.0	31.9

25-31.05

Регион	Индоокеанский сектор	Море Космонавтов	Море Содружества	Море Моусона
Разность	66.3	21.7	36.4	8.2
тыс.кв.км/ сут.	9.5	3.1	5.2	1.2

25-31.05

Регион	Тихоокеанский сектор	Море Росса	Море Беллинсгаузена	
Разность	144.5	152.8	-8.2	
тыс.кв.км/ сут.	20.6	21.8	-1.2	

Характеристика исходного материала и методика расчетов

Для иллюстрации ледовых условий Арктического региона представлены совмещенные региональные карты ААНИИ [4, 6], Канадской ледовой службы – КЛС [12], Национального ледового центра США – НЛЦ [10], Ледовой службы отделения Аляска НОАА [23] и НИЦ Планета [9]. Совмещение карт выполнено путем перекрытия слоев отдельных ледовых служб в зависимости от времени ледового анализа. Карты ААНИИ характеризуют ледовые условия морей Гренландского...Бофорта, карты НИЦ Планета – Азовского, Каспийского, Берингова, Охотского, Японского, карты НЛЦ – Северных частей Тихого и Атлантического океанов и Арктического бассейна, вод Гренландии, Ледовой службы отделения Аляска НОАА – Берингово, Чукотское моря, КЛС - морей Бофорта, Канадского архипелага, Баффина, Девисова пролива, Лабрадор, Св. Лаврентия. Для ледовых условий и распределения айсбергов Южного океана использованы данные проекта по интегрированному ледовому анализу Южного океана – циркумполярные карты ААНИИ [5, 7], НЛЦ [10, 11] и карты акватории Антарктического полуострова Норвежского метеорологического института (НМИ) [21]. Для построения совмещенных карт используется архив данных в обменном формате ВМО СИГРИД-3 [18] Мирового центра данных по морскому льду (МЦД МЛ) – проекта ВМО «Глобальный Банк Цифровых Данных по Морскому Льду». В пределах отдельного срока выборка карт из архива проводится по критериям близости карт к сроку выпуска карты ААНИИ с максимальным интервалом времени между картами до 7 суток (день недели выпуска карт ААНИИ – вторник, Ледовой службы отделения Аляска НОАА – ежедневно, НИЦ Планета – понедельник-четверг, КЛС – понедельник, НЛЦ – четверг/пятница для морского льда и четверг/пятница – для крупных айсбергов Южного океана, НМИ - понедельник).

Для иллюстрации полей толщин льда СЛО использованы ежедневные данные по распределению средневзвешенной толщины льда численной модели НУСОМ-CICE Датского метеорологического института (ДМИ) [20]. Численная модель НУСОМ-CICE имеет разрешение 10x10 км и является совместной моделью морского льда – океана. Портал полярных данных ДМИ [22] используется также как источник данных по оценке объема льда СЛО, температуры поверхности океана/морского льда, аномалий температуры воздуха и поля приземного ветра.

Для иллюстрации ледовых условий Северной Полярной области и Южного океана за последние сутки используются ежедневные циркумполярные ледовые информационные продукты НЛЦ США по оценке расположения кромки льда и ледяных массивов - MIZ (Marginal Ice Zone).

Для цветовой окраски карт использован стандарт ВМО (WMO/Td. 1215) [19] для зимнего (по возрасту) и летнего (по общей сплоченности) периодов. Следует также отметить, что в зонах стыковки карт ААНИИ, Ледовой службы отделения Аляска НОАА, КЛС и НЛЦ наблюдается определенная несогласованность границ и характеристик ледовых зон вследствие ряда различий в ледовых информационных системах подготавливающих служб. Однако, данная несогласованность несущественна для целей интерпретации ледовых условий в рамках настоящего обзора.

Для оценки распределения толщин льда в морях СМП использованы совмещенные недельные данные дистанционного зондирования ИСЗ Cryosat-2 и Sentinel-3A,B (радиолокационная альтиметрия) и SMOS (пассивное микроволновое зондирование), подготавливаемые Институтом полярных исследований им. А.Вегенера (AWI) [24, 27, 28] и ежедневные данные JAXA [29] на основе ИСЗ AMSR2 (пассивное микроволновое зондирование). Указанный источник [29] также использован для представления информации по дрейфу и возрасту морского льда СЛО и Южного океана.

Для получения оценок ледовитости (extent) и приведенной ледовитости – площади льда (area) отдельных секторов, морей, частей морей Северной полярной области и Южного океана и климатического положения кромок заданной повторяемости на основе данных спутниковых

систем пассивного микроволнового зондирования SSMR-SSM/I-SSMIS [17] и AMSR2 [30] в МЦД МЛ АНИИ принята следующая технология расчетов:

- источник данных – архивные и квазиоперативные с задержкой 1-2 дня ежедневные матрицы (поля распределения) оценок общей сплоченности Северной (севернее 45° с.ш.) и Южной (южнее 50° с.ш.) Полярных областей на основе обработанных по алгоритму NASATEAM данных многоканальных микроволновых радиометров SSMR-SSM/I-SSMIS-AMSR2 за период с 26.10.1978 г. по настоящий момент времени [13, 14, 15, 30], копируемые с сервера НЦДСЛ;
- область расчета – Северная и Южная Полярные области и их регионы с использованием масок океан/суша НЦДСЛ (http://nsidc.org/data/polar_stereo/tools_masks.html);
- границы используемых масок расчета отдельных меридиональных секторов, морей, частей морей Северной полярной области и Южного океана представлены на рисунках П1 – П6 в полярной равноплощадной проекции Ламберта [26], не совпадают с используемыми в НЦДСЛ масками для отдельных акваторий Мирового океана и основаны на цифровой основе Международной гидрографической организации [25], повторяющей по номенклатуре, но не совпадающей по границам (вследствие отсутствия цифросновы) публикациям «Атлас Северного ледовитого океана (1980)» и «Атлас океанов» [1, 2, 3].
- вычислительные особенности расчета – авторское программное обеспечение АНИИ с сохранением точности расчетов и оценке статистических параметров по гистограмме распределения и свободно-распространяемое программное обеспечение GDAL для векторизации полей климатических параметров;

В графическом формате PNG совмещенные карты АНИИ-КЛС-НЛЦ Ледовой службы отделения Аляска НОАА-НИЦ Планета доступны по адресу <http://wdc.aari.ru/datasets/d0040>.

Результаты расчетов ледовитости Северной, Южной полярных областей, их отдельных меридиональных секторов, морей и частей морей доступны на сервере МЦД МЛ АНИИ в каталогах соответственно <http://wdc.aari.ru/datasets/ssmi/data/north/extent/> и <http://wdc.aari.ru/datasets/ssmi/data/south/extent/>.

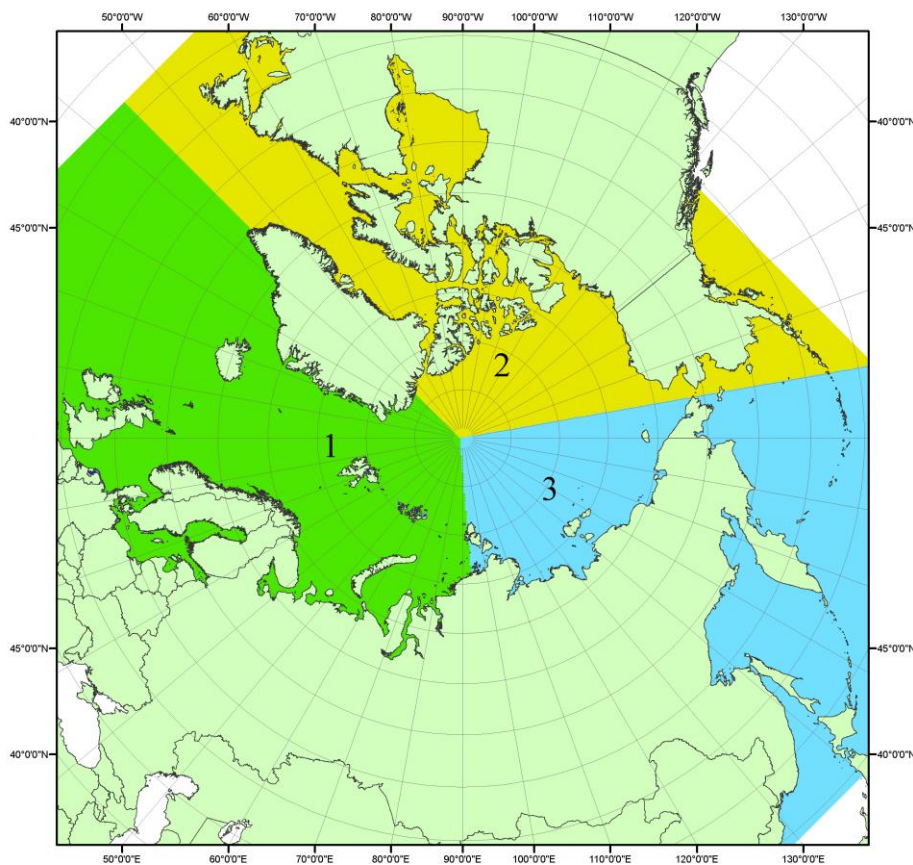


Рисунок П1 – Секторальное деление северной полярной области. 1 - Сектор $45^\circ\text{W}-95^\circ\text{E}$ (Гренландское - Карское моря); 2 - Сектор $170^\circ\text{W}-45^\circ\text{W}$ (море Бофорта и Канадская Арктика); 3 - Сектор $95^\circ\text{E}-170^\circ\text{W}$ (моря Лаптевых - Чукотское, Берингово, Охотское, Японское)

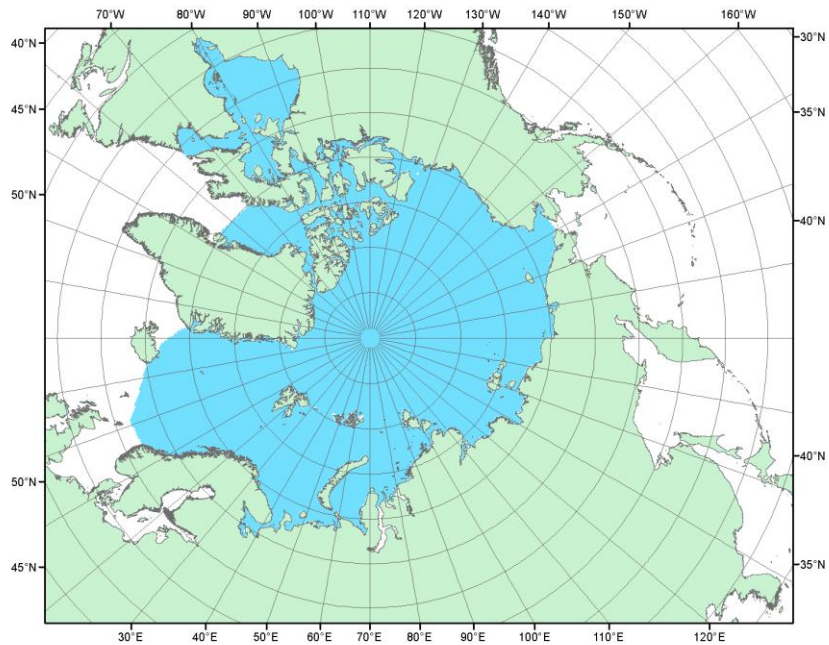


Рисунок П2 – Северный ледовитый океан в официальных границах

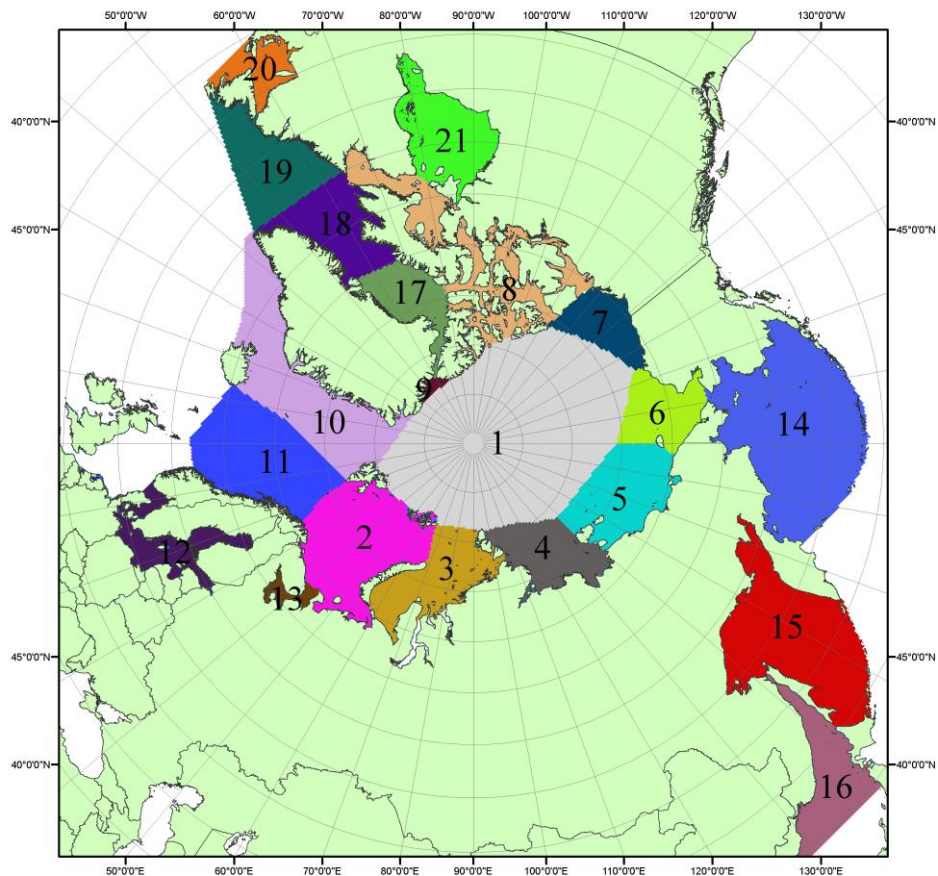


Рисунок П3 – моря северной полярной области. 1 – Арктический бассейн; 2- Баренцево море; 3 – Карское море; 4 – море Лаптевых; 5 - Восточно-Сибирское море; 6 – Чукотское море; 7 – море Бофорта; 8 – Канадский архипелаг; 9 – море Линкольна; 10 – Гренландское море; 11 – Норвежское море; 12 – Балтийское море; 13 – Белое море; 14 – Берингово море; 15 – Охотское море; 16 – Японское море; 17 – море Баффина; 18 – Дейвисов пролив; 19 – море Лабрадор; 20 – залив Святого Лаврентия; 21 – Гудзонов залив.

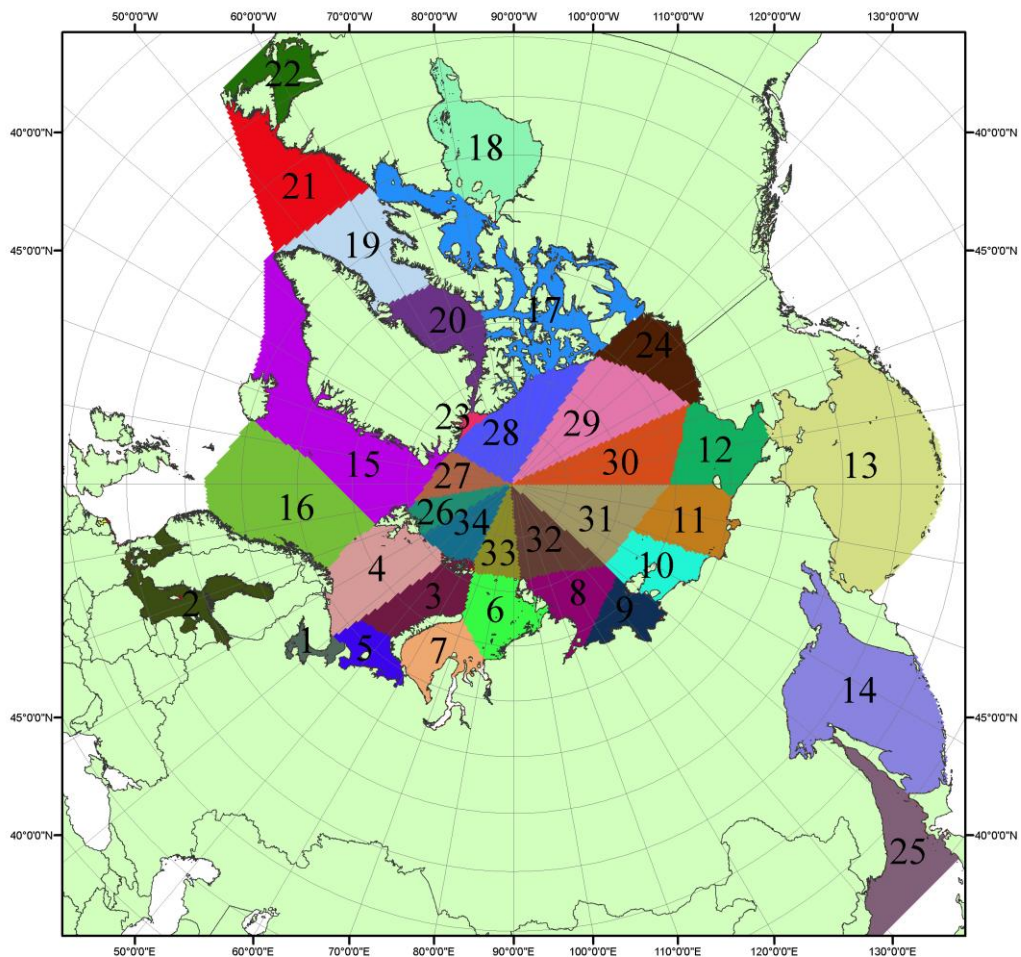


Рисунок П4 – Сектора и моря северной полярной области. 1 - Белое море; 2- Балтийское море; 3 – Баренцево море (СВ); 4 – Баренцево море (З); 5 - Баренцево море (ЮВ); 6 – Карское море (СВ); 7 – Карское море (ЮЗ); 8 – море Лаптевых (В); 9 – море Лаптевых (З); 10 – Восточно-Сибирское море (З); 11 – Восточно-Сибирское море (В); 12 –Чукотское море; 13 –Берингово море; 14 – Охотское море; 15 –Гренландское море; 16 – Норвежское море; 17 – Канадский архипелаг; 18 – Гудзонов залив; 19 – Дейвисов пролив; 20 - море Баффина; 21 – море Лабрадор; 22 - залив Святого Лаврентия; 23 - море Линкольна; 24 - море Бофорта; 25 - Японское море; 26 - сектор АО (30°з.д. – 10°в.д.); 27 – сектор АО (10°в.д. – 30°в.д.); 28 - сектор АО (30°в.д. – 65°в.д.); 29 - сектор АО (65°в.д. – 96°в.д.);30 - сектор АО (96°в.д. – 140°в.д.);31 - сектор АО (140°в.д. – 180°в.д.); 32 - сектор АО (180°в.д. – 156°з.д.); 33 - сектор АО (156°з.д. – 123°з.д.); 34 - сектор АО (123°з.д. – 30°з.д.).

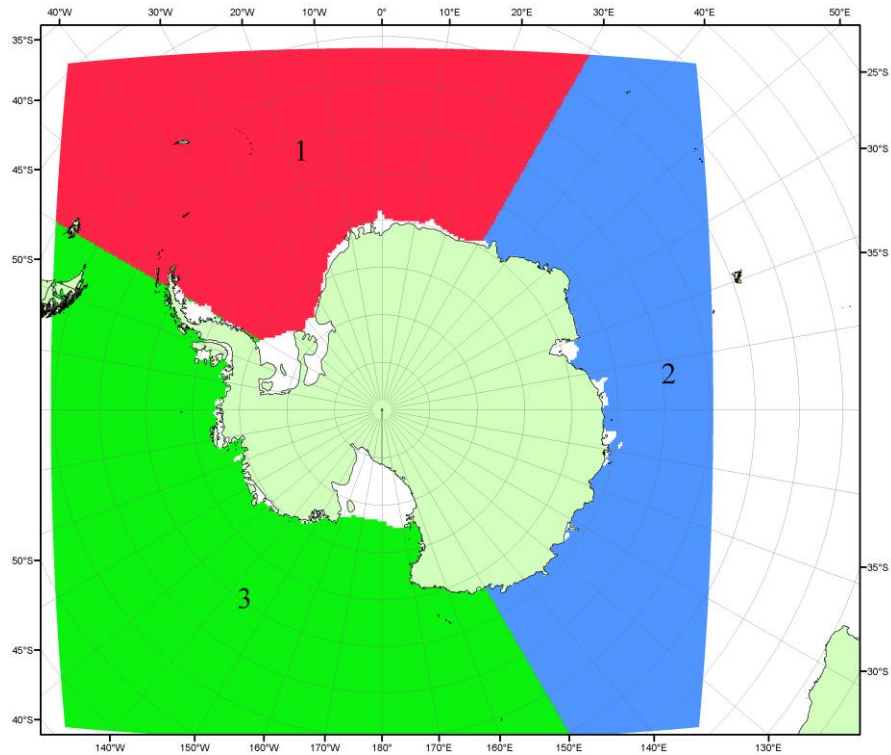


Рисунок П5 – Секторальное деление Южного океана. 1 - Атлантический сектор (60°W-30°E, море Уэдделла); 2 - Индоокеанский сектор (30°E-150°E, моря Космонавтов, Содружества, Моусона); 3 - Тихоокеанский сектор (150°E-60°W, моря Росса, Беллингаузена)

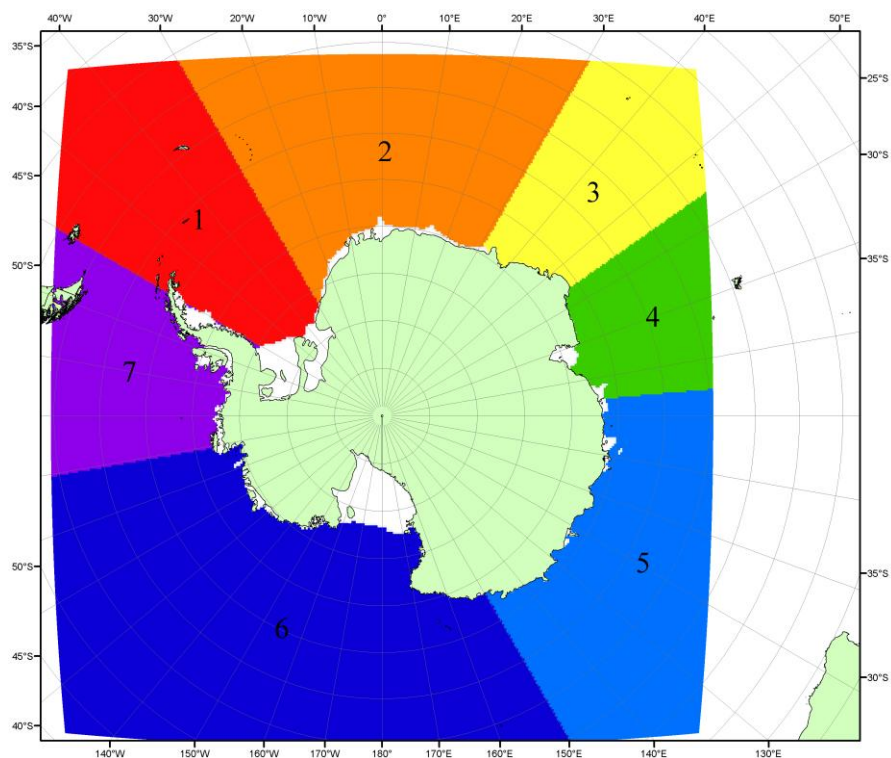


Рисунок П6 – Моря Южного океана. 1 – Западная часть моря Уэдделла; 2- Восточная часть моря Уэдделла; 3 – Море Космонавтов; 4 – море Содружества; 5 – море Моусона; 6 – море Росса; 7 – Море Беллингаузена.

СПИСОК ИСТОЧНИКОВ

1. Атлас океанов. Северный Ледовитый океан. – 1980. М: Изд. ГУНИО МО СССР ВМФ – 184 с.
2. Атлас океанов. Термины. Понятия. Справочные таблицы. - Изд. ВМФ МО СССР.-1980.
3. Границы океанов и морей. – 1960. Л.: Изд. ГУНИО ВМФ. – 51 с.
4. Обзорные ледовые карты ФГБУ «АНИИ» Северного Ледовитого океана за 2008 – настоящий момент времени в обменном формате ВМО СИГРИД-3 // Мировой центр данных по морскому льду - Глобальный банк данных по морскому льду – <http://wdc.aari.ru/datasets/d0015>.
5. Комплексные ледовые карты ФГБУ «АНИИ» Южного океана за 2014 год – настоящий момент времени в обменном формате ВМО СИГРИД-3 // Мировой центр данных по морскому льду - Глобальный банк данных по морскому льду – <http://wdc.aari.ru/datasets/d0015>.
6. Комплексные ледовые карты ФГБУ «АНИИ» арктических и замерзающих морей России за 1997 – 2021 гг. в обменном формате ВМО СИГРИД-3 // Мировой центр данных по морскому льду - Глобальный банк данных по морскому льду – <http://wdc.aari.ru/datasets/d0004>.
7. Карты ФГБУ «АНИИ» анализа крупных айсбергов Южного океана за 2014-2020 гг. в обменном формате ВМО СИГРИД-3 // Мировой центр данных по морскому льду - Глобальный банк данных по морскому льду – <http://wdc.aari.ru/datasets/d0015>.
8. Комплексные ледовые карты ФГБУ «Гидрометцентр России» Азовского, Каспийского и Белого морей за 2000-2019 гг. в обменном формате ВМО СИГРИД-3 // Мировой центр данных по морскому льду - Глобальный банк данных по морскому льду – <http://wdc.aari.ru/datasets/d0033>.
9. Комплексные ледовые карты ФГБУ «НИЦ Планета» Азовского, Каспийского, Берингова, Охотского и Японского морей за 2016 год – настоящий момент времени в обменном формате ВМО СИГРИД-3 // Мировой центр данных по морскому льду - Глобальный банк данных по морскому льду – <http://wdc.aari.ru/datasets/d0034>.
10. Комплексные ледовые карты Северной полярной области и Южного океана Национального ледового центра США за 2003 год – настоящий момент времени в обменном формате ВМО СИГРИД-3 // Мировой центр данных по морскому льду - Глобальный банк данных по морскому льду – <http://wdc.aari.ru/datasets/d0032>.
11. Карты анализа крупных айсбергов Южного океана Национального ледового центра США за 2014 год – настоящий момент времени в обменном формате ВМО СИГРИД-3 // Мировой центр данных по морскому льду - Глобальный банк данных по морскому льду – <http://wdc.aari.ru/datasets/d0032>.
12. Комплексные ледовые карты Канадской Арктики Канадской ледовой службы за 2006 – настоящий момент времени в обменном формате ВМО СИГРИД-3 // Мировой центр данных по морскому льду - Глобальный банк данных по морскому льду – <http://wdc.aari.ru/datasets/d0031>.
13. Cavalieri, D., C. Parkinson, P. Gloersen, and H. J. Zwally. 1996, updated 2008. *Sea Ice Concentrations from Nimbus-7 SMMR and DMSP SSM/I Passive Microwave Data*, [1978.10.26 – 2007.12.31]. Boulder, Colorado USA: National Snow and Ice Data Center. Digital media.
14. Meier, W., F. Fetterer, K. Knowles, M. Savoie, M. J. Brodzik. 2006, updated quarterly. *Sea Ice Concentrations from Nimbus-7 SMMR and DMSP SSM/I Passive Microwave Data*, [2008.01.01 – 2008.03.25]. Boulder, Colorado USA: National Snow and Ice Data Center. Digital media.
15. Maslanik, J., and J. Stroeve. 1999, updated daily. *Near-Real-Time DMSP SSM/I-SSMIS Daily Polar Gridded Sea Ice Concentrations*, [2008.03.26 – present moment]. Boulder, Colorado USA: National Snow and Ice Data Center. Digital media.
16. Andersen, S., R. Tonboe, L. Kaleschke, G. Heygster, and L. T. Pedersen, Intercomparison of passive microwave sea ice concentration retrievals over the high-concentration Arctic sea ice.// J. Geophys. Res. – 2007. – Vol. 112. C08004, doi:10.1029/2006JC003543.
17. Статистические характеристики сплоченности морского льда Северной полярной области и Южного океана на основе данных наблюдений SSMR-SSM/I-SSMIS, алгоритм NASATEAM // Мировой центр данных по морскому льду - Глобальный банк данных по

морскому льду – <http://wdc.aari.ru/datasets/ssmi>.

18. SIGRID-3: A vector archive format for Sea Ice Georeferenced Information and Data - JCOMM Technical Report Series No. 23, 2014, WMO/TD-No.1214.

19. Ice Chart Colour Code Standard. - JCOMM Technical Report Series No. 24, 2004, WMO/TD-No.1215.

(http://jcomm.info/index.php?option=com_oe&task=viewDocumentRecord&docID=4914)

20. Danish Meteorological Institute North Atlantic - Arctic Ocean model HYCOM-CICE - <http://ocean.dmi.dk/models/hycom.uk.php>

21. Портал данных ледового анализа Южного океана Норвежского метеорологического института - <http://polarview.met.no/Antarctic.html>

22. Портал полярных данных Датского метеорологического института - <http://polarportal.dk>

23. Комплексные ледовые карты Берингова и чукотского морей Ледовой службы отделения НОАА Аляска в обменном формате ВМО СИГРИД-3 // <https://www.weather.gov/>.

24. AWI CryoSat-SMOS Merged Sea Ice Thickness - <https://spaces.awi.de/display/CS2SMOS/CryoSat-SMOS+Merged+Sea+Ice+Thickness>

25. Flanders Marine Institute (2018). IHO Sea Areas, version 3. Available online at URL: <http://www.marineregions.org/> (дата обращения 08.04.2023).

26. Полярная равноплощадная проекция Ламберта. URL: <https://epsg.io/3576> (дата обращения 07.04.2023).

27. ESA project SMOS & CryoSat-2 Sea Ice Data Product Processing and Dissemination Service and data from 2010 to 2024, obtained from <https://www.meereisportal.de> (grant: REKLIM-2013-04)/ Ricker, R., Hendricks, S., Kaleschke, L., Tian-Kunze, X., King, J., and Haas, C.:

28. A weekly Arctic sea-ice thickness data record from merged CryoSat-2 and SMOS satellite data, *The Cryosphere*, 11, 1607-1623, <https://doi.org/10.5194/tc-11-1607-2017>, 2017.

29. Kimura, N., M. Oyama, T. Sugimura, 2022, Daily Polar Gridded Sea Ice Age, Version 1, 1.00, Arctic Data archive System (ADS), Japan, <https://ads.nipr.ac.jp/dataset/A20220527-001>

30. Stewart, J. S., Meier, W. N., Marowitz, R., Scott, D. J. & Wilcox, H. (2025). *AMSR2 Daily Polar Gridded Sea Ice Concentrations*. (NSIDC-0803, Version 2). [Data Set]. Boulder, Colorado USA. National Snow and Ice Data Center. <https://doi.org/10.5067/W13AO54SS7CW>.